

Jürgen Kurt Brüggemann

Estudios estratigráficos en el sitio arqueológico de Acozac, 1973

Cuadernos del Departamento de Monumentos Prehispánicos, serie Arqueología, núm. 3, INAH, 1976

I. Obtención del material arqueológico

El sitio arqueológico Acozac se localiza en el actual fraccionamiento de Acozac, en la parte oriental del valle de México, cercano a la carretera vieja de Puebla, dentro del municipio de Ixtapaluca, Estado de México. Este sitio está asentado sobre una de las colinas de un macizo montañoso secundario y primario que debe su origen de formación tectónica a la actividad volcánica en el valle de México y es conocido por los pobladores de aquella región como Ixtapaluca Viejo. Fueron los arqueólogos norteamericanos Nicholson y Grove quienes por primera vez hicieron un estudio estratigráfico en la zona central del sitio y analizaron en el informe presentado en 1964 al Departamento de Monumentos Prehispánicos, INAH, la supuesta distribución y forma de los edificios más importantes.

El arqueólogo Eduardo Contreras exploró y reconstruyó recientemente, con la ayuda del INAH y la fraccionadora, algunos de los edificios, como son: la pirámide circular, el palacio, algunos altares y la parte inferior de la pirámide principal.

Durante la temporada de exploración arquitectónica del sitio, un equipo de varios pasantes de arqueología, entre ellos el señor Gilberto Hernández, la señorita Magdalena Herrera y la señora Margarita Treviño, bajo mi supervisión, se dedicó a la exploración estratigráfica del sitio y, como se puede notar en el croquis topográfico (fig. 1), tratase de una región con relieve accidentado.

Escogimos tres zonas que según nuestro criterio podrían ser sintomáticas para la estratificación social del sitio y sus alrededores inmediatos, los pozos 1 y 2 representan en este esquema la zona de producción primaria, es decir, la población dedicada al cultivo de plantas domésticas; los pozos 3 y 4 marcan la zona habitacional ligada a las funciones básicas del centro, y los pozos 5 y 6 están dentro de la zona central o monumental donde encontramos los edificios dedicados al culto y a la administración cívica.

¿Por qué la distancia relativamente grande entre los pozos 3-4 y 1-2? La razón está en la pendiente tan marcada de tal manera que la profundidad de una probable estratigrafía cultural es mínima, igual que la seguridad de encontrar algún material *in situ*, debido a los agentes de erosión pluvial que ejercen con toda libertad la fuerza física sobre la superficie casi totalmente erosionada. La única resistencia a la erosión pluvial es el escaso pasto, pero domina la superficie totalmente descubierta.

Toda la ladera sureste y en parte la norte fue ocupada por la población, que se puede considerar integrante del sitio Acozac; ello muestra la gran cantidad de pequeñas plataformas para casas-habitación. En la parte baja cercana al lago de Chalco debemos suponer que estaban los campos de cultivos de aquella población.

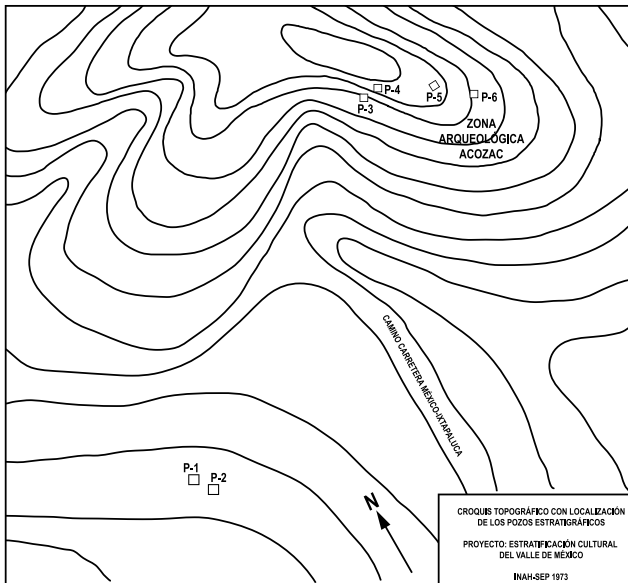


Fig. 1

Estratificación

La estratificación en lo que se refiere a las capas naturales tiene un gran parecido en sus aspectos de color y textura (figs 2-5). Por regla general podemos decir que en la capa I, correspondiente a la capa vegetal, contamos con materiales de color negro, negruzco o café oscuro, algo compacto; mientras hacia las capas inferiores encontramos tierras más bien sueltas de color café claro hasta amarillento.

La capa V generalmente está representada por un sedimento volcánico, que conocemos en el valle de México como tepetate y que es cultural estéril. Sólo en el caso del pozo 3 contamos con cuatro capas estratigráficas aparte de la capa formada por el tepetate. El pozo 6 (fig. 5) sólo tiene capas naturales.

En los pozos 2 y 3 (figs. 2 y 3) aparecen en la capa IV y III, respectivamente, muchas piedras redondeadas en una matriz de tierra suelta. El pozo 3, como elemento diferencial, muestra lentes de cenizas volcánicas en la capa III. El pozo 5 (fig. 4) contiene como única excepción una subestructura arquitectónica que consiste en un macizo de piedras volcánicas de la región con formas naturales, unidas entre sí por una mezcla de materiales más finos, y las piedras que se encuentran en las capas I y II del pozo 5 (fig. 4) no deben su origen a procesos naturales sino son el escombros de la estructura arquitectónica.

Aun tomando en cuenta las características específicas de cada pozo estratigráfico, podemos establecer la norma de que los pozos se parecen en lo que se refiere a la secuencia de las capas naturales en los aspectos de color y textura y pueden variar en el grosor de las capas y la diferenciación entre ellos en la zona de contacto.

1. Pozo 1 y 2: de cultivo
2. Pozo 4 y 3: habitacional
3. Pozo 6 y 7: central cívica-religiosa

II. Manejo del material arqueológico

Descripción de la cerámica

La clasificación de la cerámica se realizó distinguiendo tres grandes grupos por sus características generales: El primer grupo (1) reúne toda la cerámica que podíamos señalar con el calificativo doméstico. Son cerámicas burdas, de acabados sencillos como el alisado, toscos en sus formas, y de un desgrasante grueso generalmente. El segundo grupo, igualmente como el tercero, reúne cerámicas que convencionalmente se llaman “diagnósticas”, ya que por su elaboración y su gran cantidad de características específicas y modales son útiles para distinguir fácilmente una cerámica de otra. Se dividió este grupo cerámico en dos porque existe una marcada diferencia básica entre ellos. El segundo grupo cerámico reúne a todas las cerámicas anaranjadas con o sin decoración negra, mientras el tercero reúne a todas las cerámicas policromas sobre fondos rojos o anaranjados. Hay que señalar en este contexto que la cerámica policroma sobre fondo anaranjado pintado marca una fuerte relación con los tipos cholultecas, mientras las del fondo rojo pintado se identifican dentro de las cerámicas policromas texcocanas.

Por sus características específicas cada grupo se subdivide en unidades, que hemos llamado tipos. Tanto los grupos como los tipos deben su origen a un sistema clasificatorio que respeta tanto conceptos taxonómicos como tipológicos y en el cual la unidad básica son todos los tiestos que guardan un alto porcentaje de similitud entre sí. El manejo parte de la totalidad del material cerámico y agrupa al final del proceso la cerámica por capas y tipos.

Grupo: 1

Tipo 1A: Pasta anaranjada, color anaranjado rojizo en la superficie, la textura semicompacta, cocido en un ambiente oxidante, desgrasante de arenas y cuarzos muy angulosos de grano mediano, alisado en la superficie con un baño del mismo barro. Las paredes en su grosor varían entre 2.8 y 9 mm; las formas más frecuentes son ollas (fig. 6: a, b, c, d, e, f, g) cajetes de fondo plano, asas agarraderas, platos trípodes. Este tipo es el más abundante en el sitio (fig. 7: a, b, c, d).

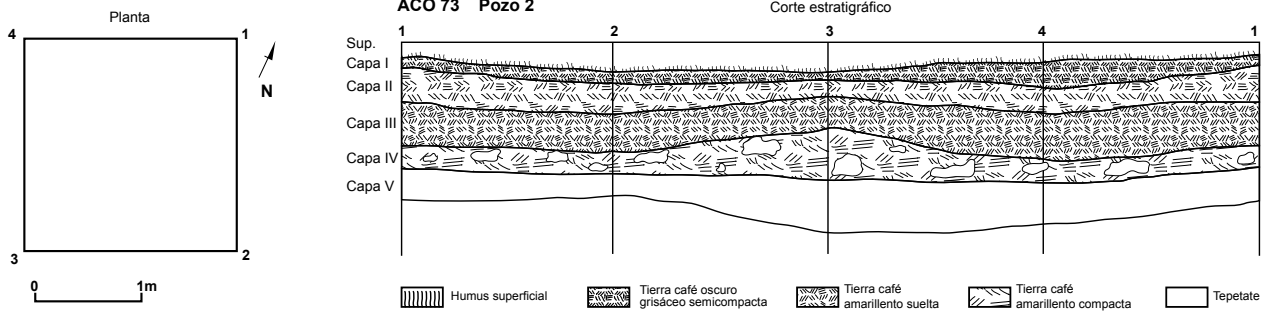


Fig. 2

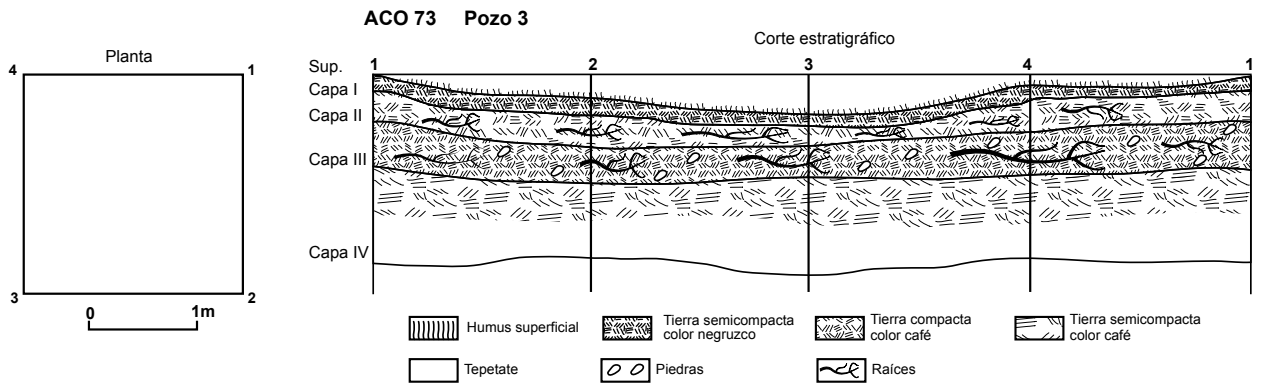


Fig. 3

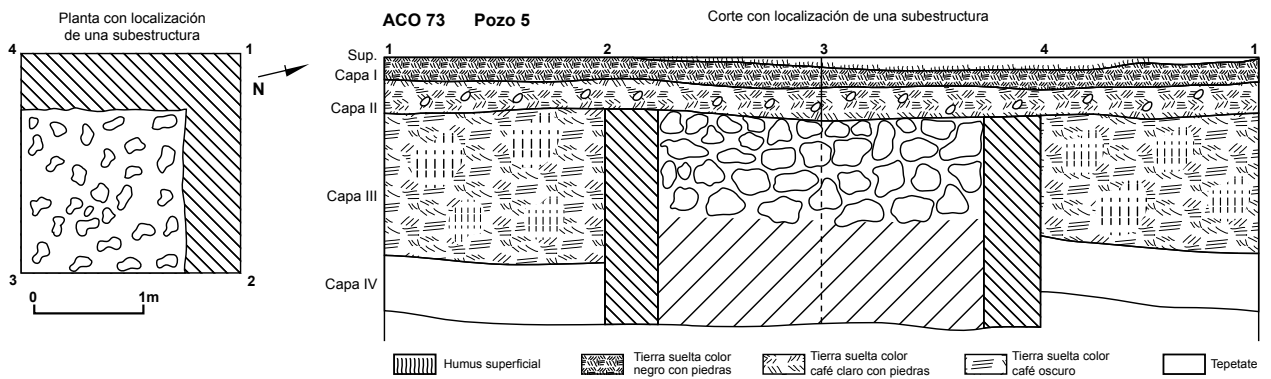


Fig. 4

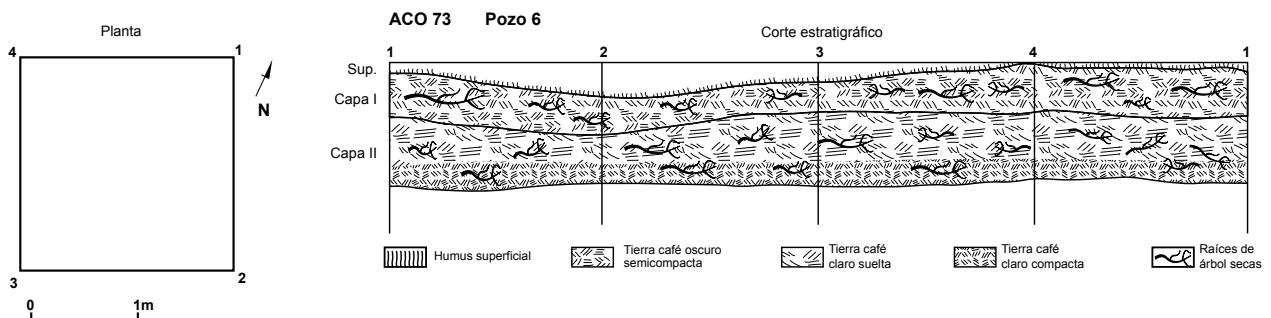
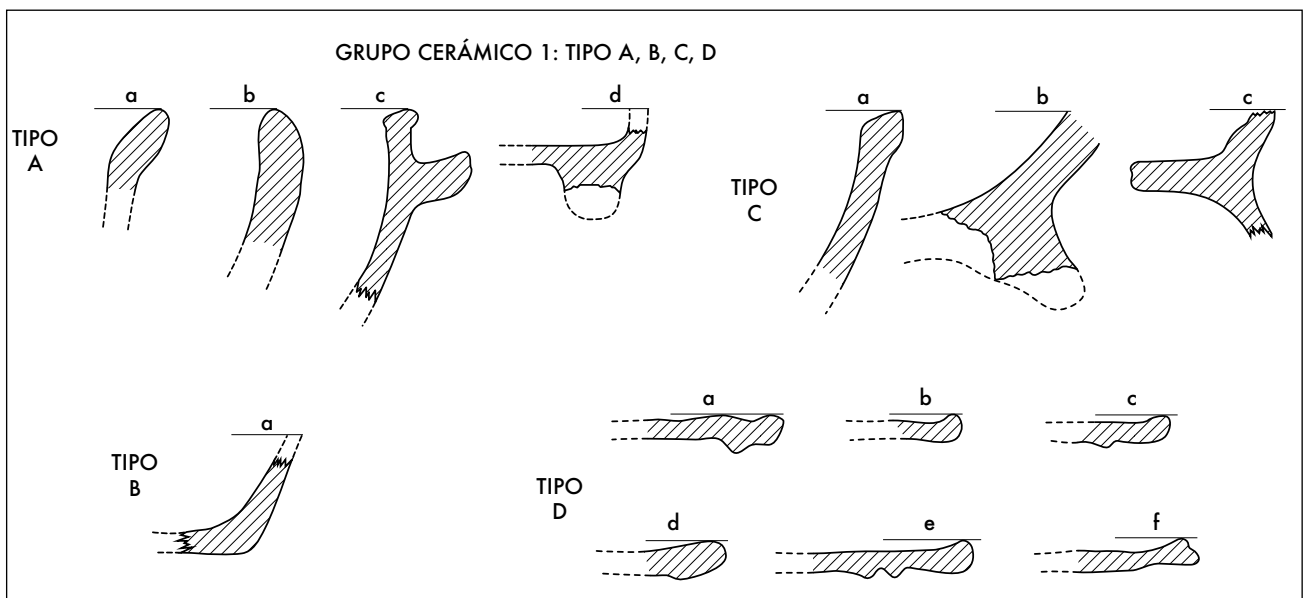
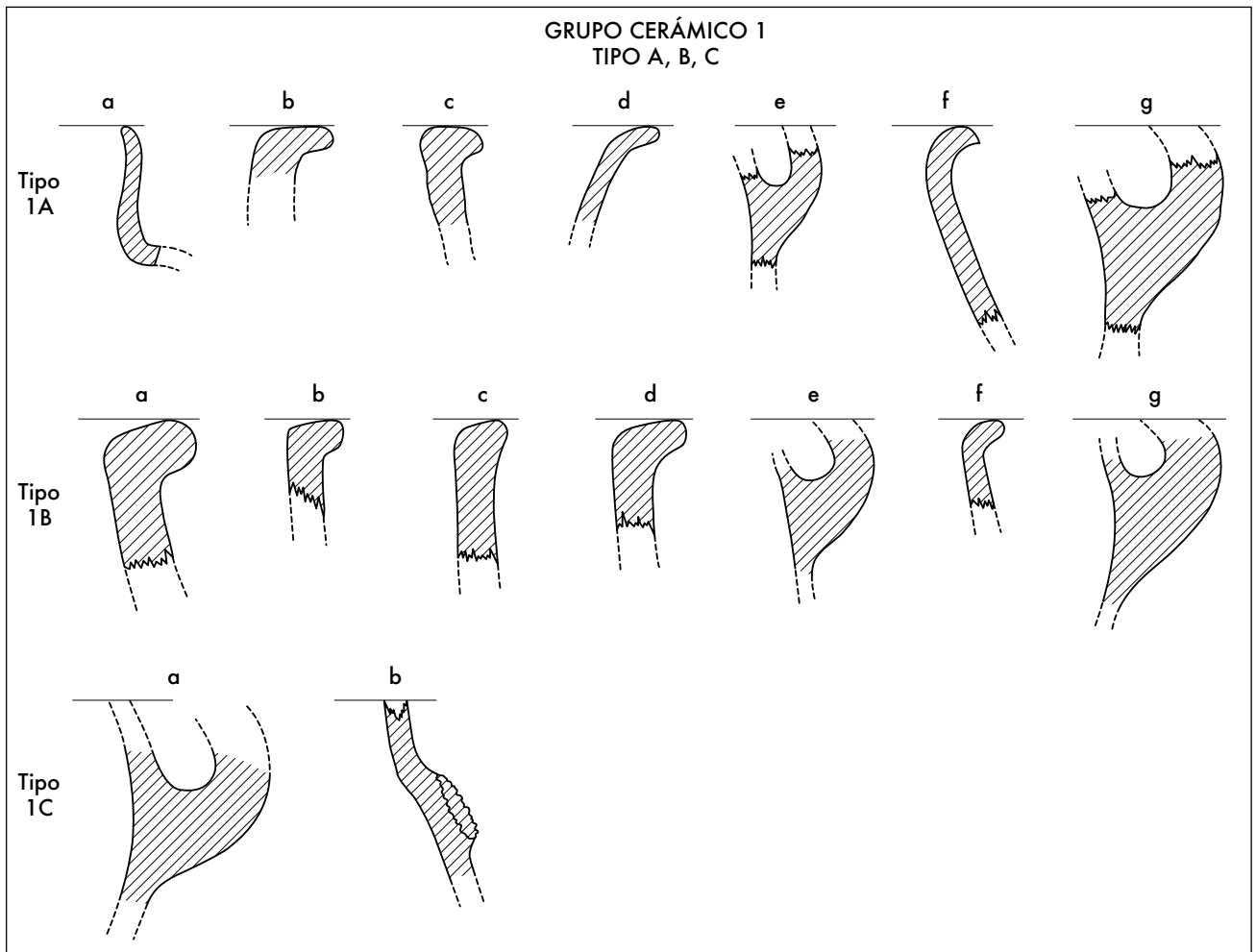


Fig. 5



Tipo 1B: Pasta anaranjada, color negruzco en la superficie, semicompacta porosa, oxidación incompleta, desgrasante: fibras vegetales, cuarzos angulosos, arenas redondeadas y subangulares, ceniza volcánica, grano mediano. Las paredes varían en su grosor entre 2.2 y 5 mm. Las formas más frecuentes son ollas sencillas con asas (fig. 6: a, b, c, d, e) y cajetes de fondo plano (fig. 7: a). Es el segundo tipo en frecuencia en el sitio.

Tipo 1C: Pasta anaranjada, anaranjado rojizo en la superficie semicompacta, desgrasante: de cenizas volcánicas, cuarzo (abundancia), obsidiana, angulosas de grano mediano; cocido en ambiente oxidante, a veces incompacto. El grosor de las paredes puede variar entre 2.4 y 6 mm, alisado en la superficie (un tiesto con restos de cal). Las formas más frecuentes son ollas con agarraderas (fig. 6: a, b) y cajetes sencillos y trípodes (fig. 7: a, b, c).

Tipo 1D: Pasta anaranjada, superficie interior anaranjada y exterior negruzca (ahumada): semicompacta; oxidación completa e incompleta, desgrasante: cenizas volcánicas, cuarzos, arenas finas y muy finas de formas muy angulosas. Acabado: alisado y escobillado (exterior) y alisado fino y pulido ocasionalmente en el interior. El grosor puede variar entre 12.1 y 4.3 mm. Este tipo se define por su forma particular de comal (fig. 7: a, b, c, d, e, f).

Tipo 1E: Pasta anaranjada, negruzco o rojizo oscuro ahumado en la superficie; textura porosa; desgrasante: vidrios volcánicos (obsidiana), cuarzos y arenas de grano mediano; oxidación completa; alisado burdo en la superficie exterior con escobillado, la superficie interior lleva un baño de color negruzco o rojizo alisado y a veces con algún pulimento. El grosor de las paredes varía entre 11.2 y 4.3 mm. La forma típica y exclusiva son comales. Este tipo se diferencia del tipo 1D por el acabado negruzco o rojizo en el interior de la pieza (fig. 8).

Tipo 1F: (cerámica con baño blanco en la superficie interior o exterior). Pasta anaranjada; blanco en la superficie interna o externa, compacta y semicompacta, desgrasante de vidrio volcánico y cuarzos de grano fino o mediano de formas angulosas; cocido en un ambiente oxidante y alisado en la superficie. Las paredes varían en su grosor entre 11.7 y 6 mm. La técnica decorativa consiste en la aplicación de una pintura blanca. Las formas principales son cajetes sencillos y de fondo plano (fig. 9: a, b, c).

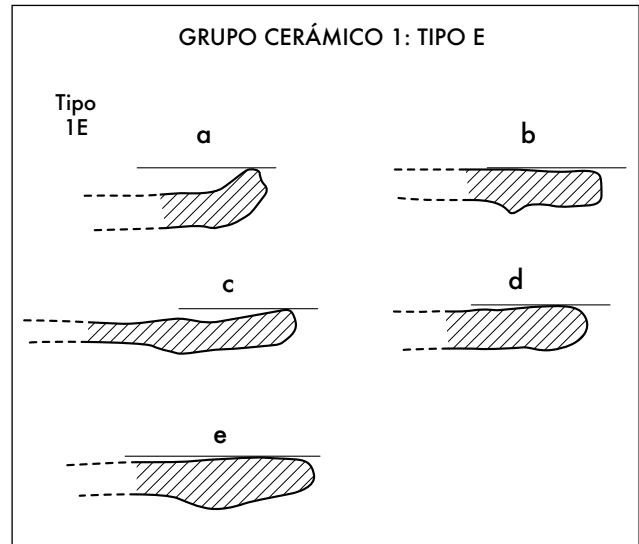


Fig. 8

Tipo 1G: Pasta anaranjada, “plomizo” en la superficie; semicompacta porosa, desgrasante: abundancia de ceniza volcánica y también minerales de cuarzo grano mediano y formas angulosas; oxidación completa. Paredes entre 13 y 6.4 mm; superficie pulida, formas principales: ollas (fig. 10: a, b) y cuencas (fig. 9: a, b).

Tipo 1H: Pasta anaranjada, superficie anaranjado rojizo y pulido, textura muy compacta, desgrasante: cuarzos, vidrio volcánico y arenas de grano muy fino y formas angulosas; oxidación completa. Paredes: de 8.4 a 4.3 mm. Formas: abiertas como cuenca y cajetes (fig. 9: a, b).

Tipo 1I: Pasta anaranjada, superficie grisácea y pulida, textura compacta; oxidación completa e incompleta; desgrasante: cuarzos y obsidianas de grano fino y anguloso y fibras vegetales; Formas: cajetes sencillos de fondo plano (fig. 9: a, b, c, d) y ollas (fig. 10: a)

Tipo 1J: Pasta anaranjada, superficie rojo o café pulido con palillo; textura compacta, oxidación generalmente incompleta, desgrasante: obsidianas y cuarzos de tamaño fino y mediano y formas angulosas. Paredes: de 1 a 4.3 mm. Formas: cajetes de fondo plano con soportes cónicos y alargados (fig. 15: a, b) y ollas de cuello recto y divergente (fig. 10: a, c).

Tipo 1L: Pasta anaranjada, superficie rojiza pulida en el exterior y alisada en el interior; textura compacta, oxidación completa; desgrasante: obsidiana y cuarzos de grano fino y anguloso. Paredes: 13 a 5 mm. Formas: ollas y asas (fig. 10: a, b, c) y vasijas abiertas (fig. 11).

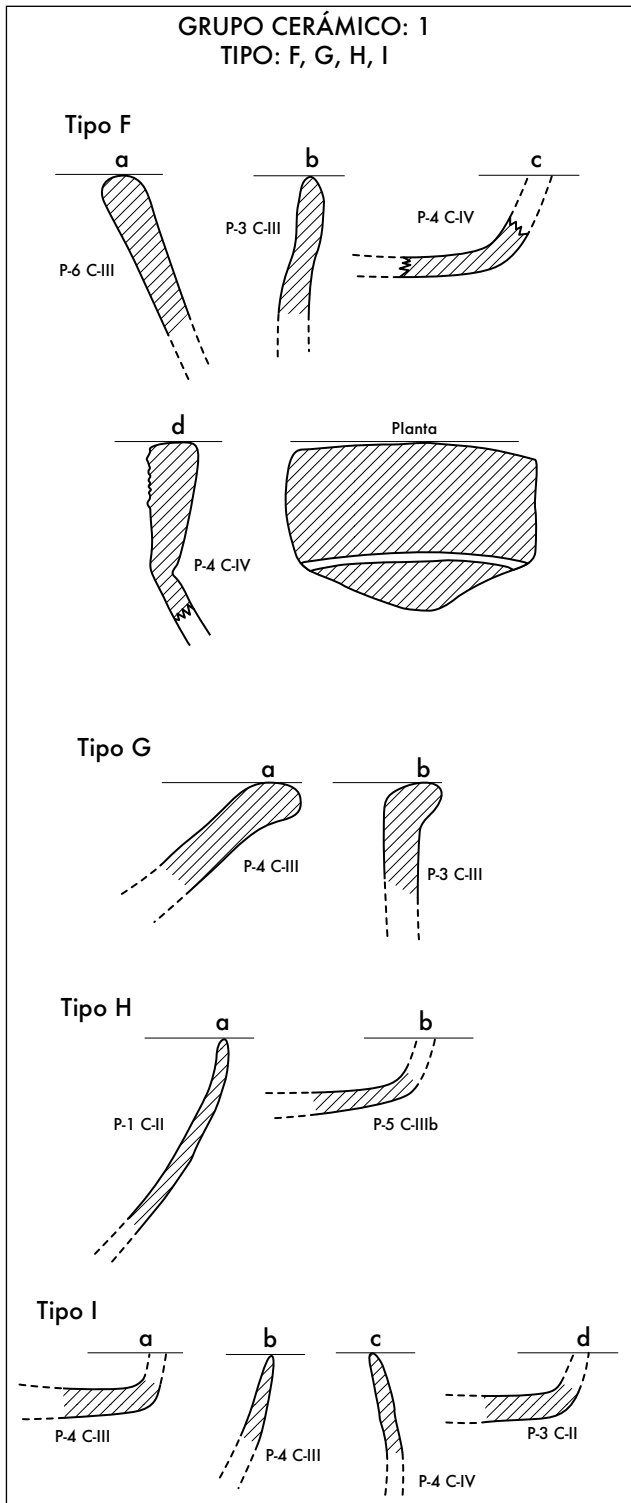


Fig. 9

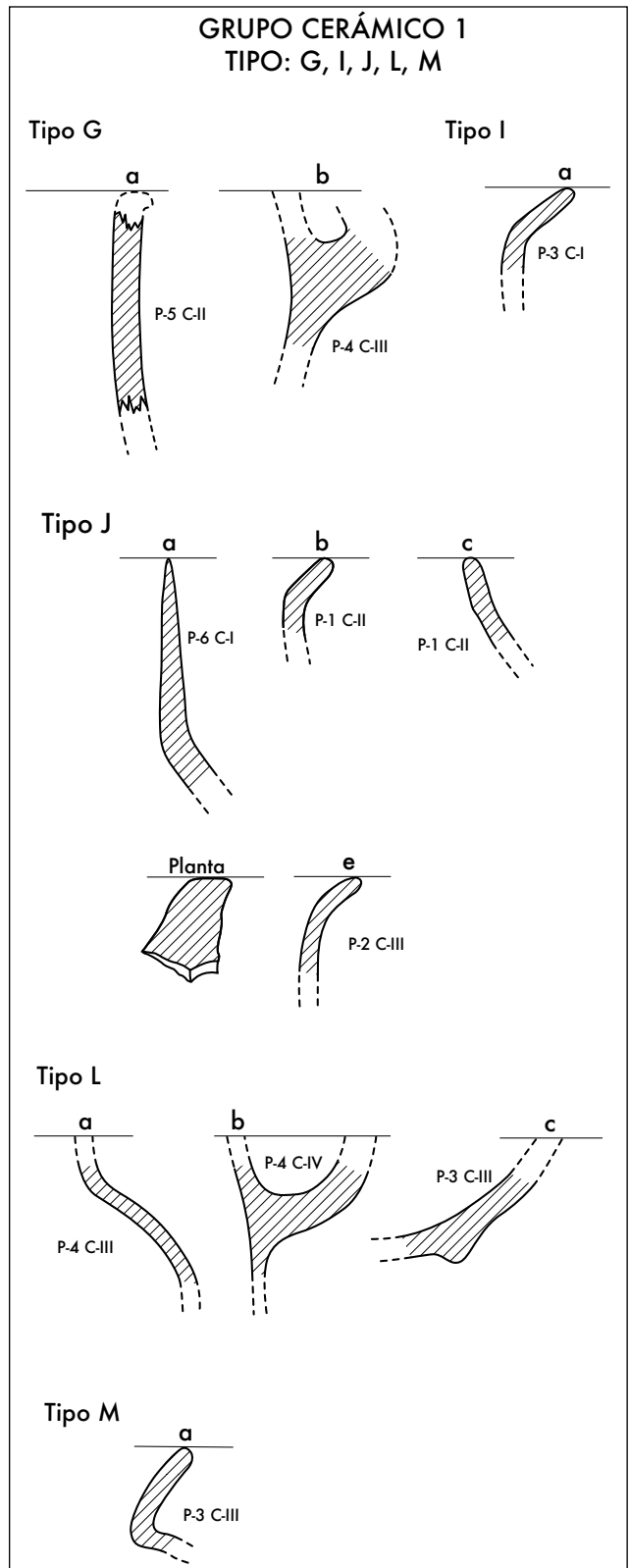


Fig. 10

Tipo 1M: Pasta anaranjada; superficie anaranjada es-
cobillada ocasionalmente, presenta algún pulimento
en forma rudimentaria por palillos, textura compac-
ta, oxidación completa, desengrasante: obsidiana
y cuarzo de grano fino y anguloso. Paredes: de 8.4 a
4.5 mm. Formas: cajetes sencillos y de fondo plano
(fig. 11: 1-4) y pequeñas ollas (fig. 10: a).

Tipo 2A: Pasta anaranjada, superficie anaranjada,
pulido y pintado (negro sobre anaranjado); textura
compacta, cocción completa y semicompleta; desgra-
sante: obsidiana, cuarzos y arenas de grano muy fino
y anguloso; motivos geométricos (fig. 12 y 13: 1-5)
formas abiertas (fig. 12 y 13: 1-5) platos, cuencos,
molcajetes, bordes rectos y curvos, divergentes y con-
vergentes, vasijas trípodes con soportes almenados y
rectangulares.

Tipo 2B: Pasta anaranjada; superficie pintada café
sobre crema; textura compacta; cocción completa en
un ambiente oxidante; desengrasante: obsidiana y
cuarzos de grano fino: grosor de las paredes de 4.3 a
8.2 mm, motivos geométricos; formas: cuencos (fig.
14: 1-3) y ollas.

Tipo 3A: Pasta grisácea, superficie roja pintada, pu-
lido y bruñido; textura compacta, oxidación incom-
pleta; desengrasante: obsidiana y cuarzos, arenas finas
y fibras vegetales; grosor de las paredes de 4.5 a 6.3
mm; formas abiertas: cajetes sencillos de soportes
cónicos y cuencos sencillos (fig. 14: 1), cerradas: ollas
con cuellos divergentes (fig. 15: a, b).

Tipo 3B: Pasta grisácea, superficie rojo pintado sobre
anaranjado pulido; textura compacta; oxidación incom-
pleta; desengrasante: obsidiana y cuarzos de gra-
no muy fino; grosor de las paredes entre 9 y 4.1 mm;
técnica de decoración: pintado y esgrafiado; motivos
geométricos (líneas y bandas circulares, verticales,
horizontales y diagonales) (fig. 14 y 15) formas abier-
tas: cuencos de fondo cóncavo y plano (fig. 14: 1-5); y
ollas (fig. 15: a).

Tipo 3C: Pasta grisácea, superficie pintada, pulida y
bruñida; textura semicomcompacta; oxidación incom-
pleta; desengrasante: obsidiana, cuarzo y arenas finas
de contornos subangulares; decoración policroma
negro y rojo sobre anaranjado; motivos (fig. 16: a-f)
geométricos y simbólicos (xicalcolihquis-ganchos)
formas abiertas (fig. 16: a-f), cuencos sencillos, platos

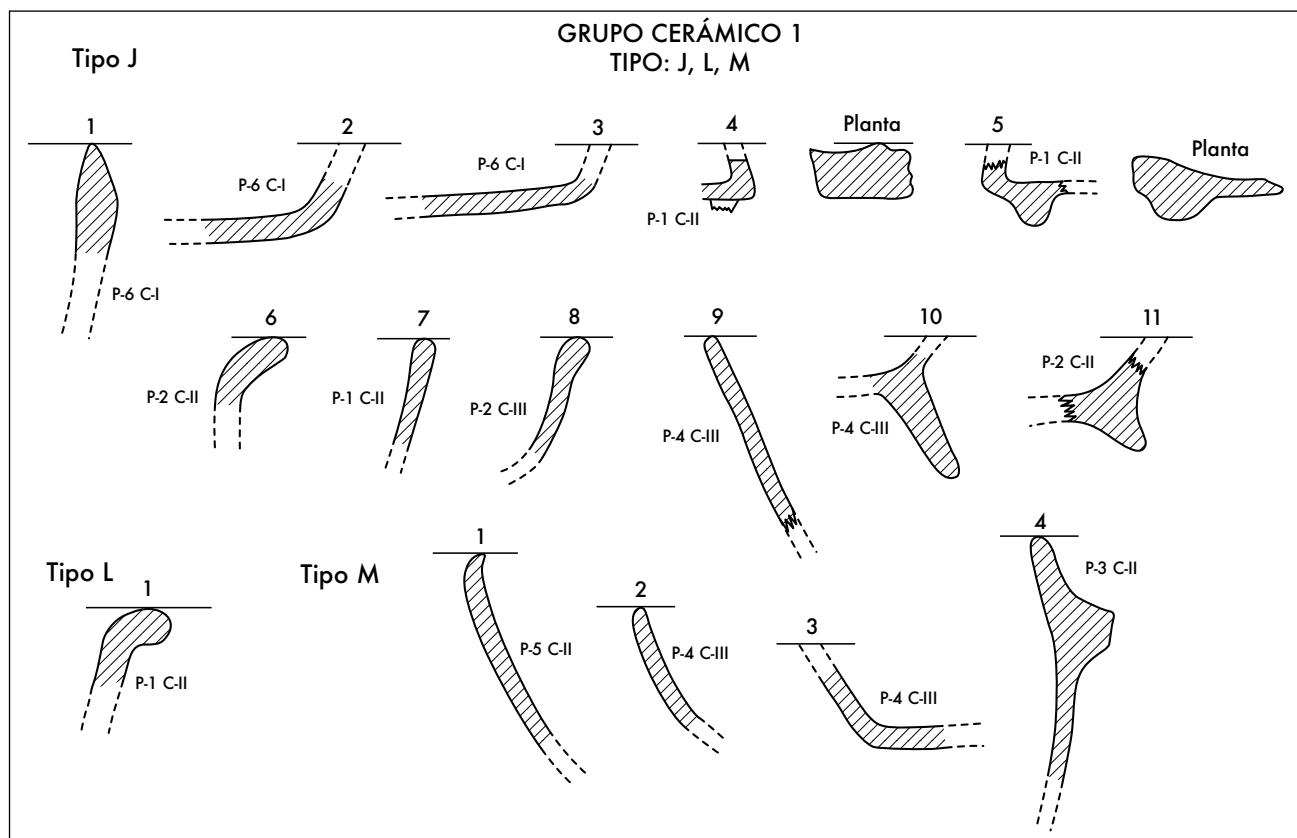


Fig. 11

de paredes inclinados hacia afuera; observaciones: los únicos soportes que aparecen son cilíndricos y no aparece ninguna variación descrita por Noguera (1954), igualmente como la variedad de formas, sin embargo, la semejanza de este tipo cerámico con el conocido como cholulteca es innegable.

Tipo 3D: Pasta rojiza —núcleo café oscuro— grisáceo; superficie pintada de rojo en el exterior y rojo café en el interior de la vasija con pulimento brillante; textu-

ra compacta; desgrasante: obsidiana, cuarzos, feldspatos y arenas finas de granos angulosos; oxidación incompleta; el grosor de las paredes varía entre 3.9 y 7.9 mm; decoración pintada de negro y blanco sobre rojo; motivos geométricos de gran variedad de formas (fig. 16: a,b,c,d,e,f); formas abiertas; cajetes sencillos o de fondo plano principalmente (fig. 16: a,b,c,d,e,f), observación; la cerámica de este tipo pertenece a un complejo de cerámicas conocidas como texcocanas que pertenece a la fase tardía de la época Posclásica.

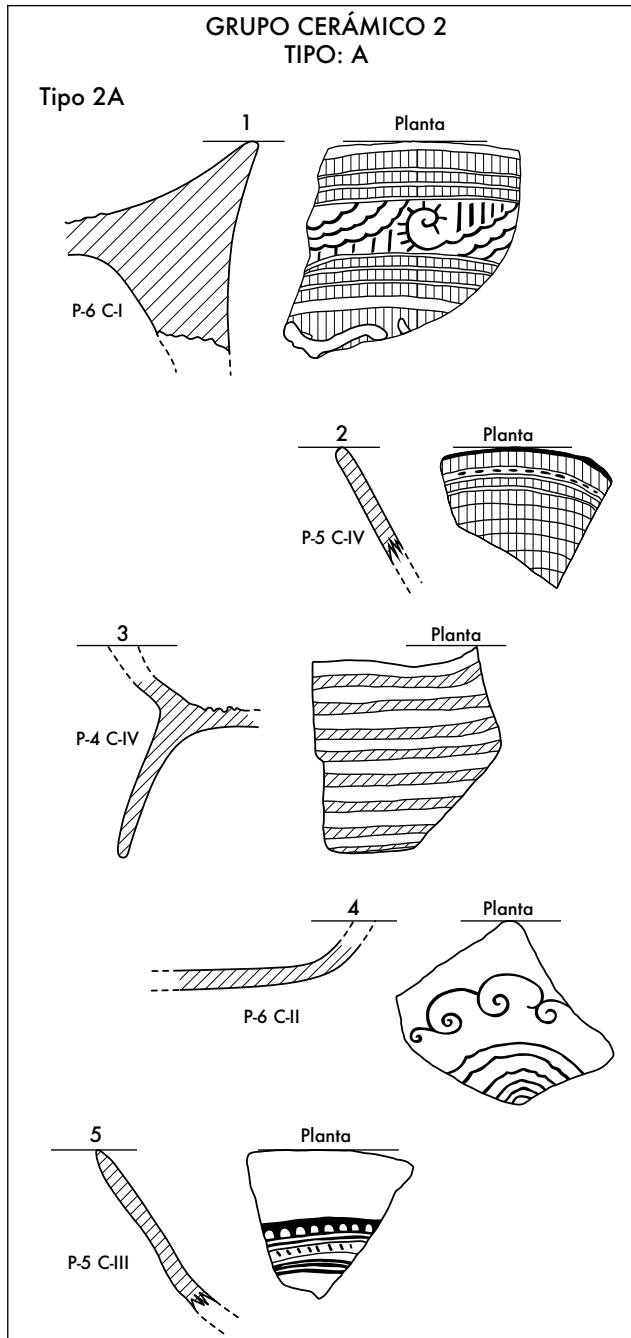


Fig. 12

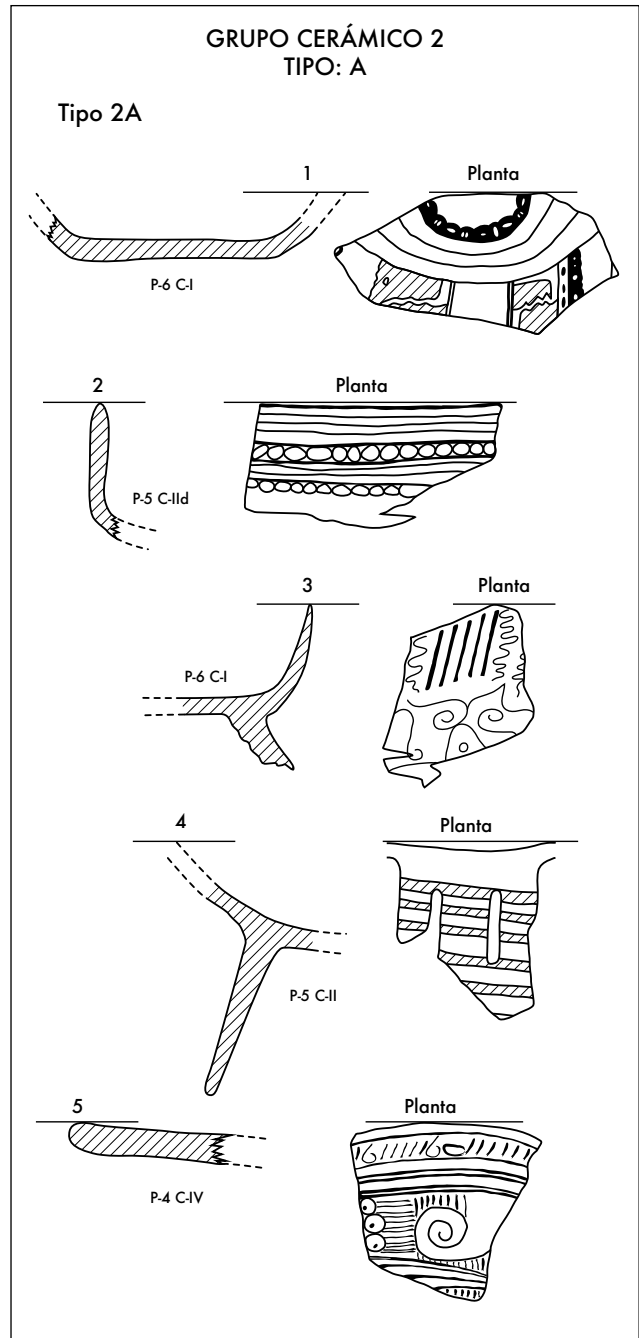


Fig. 13

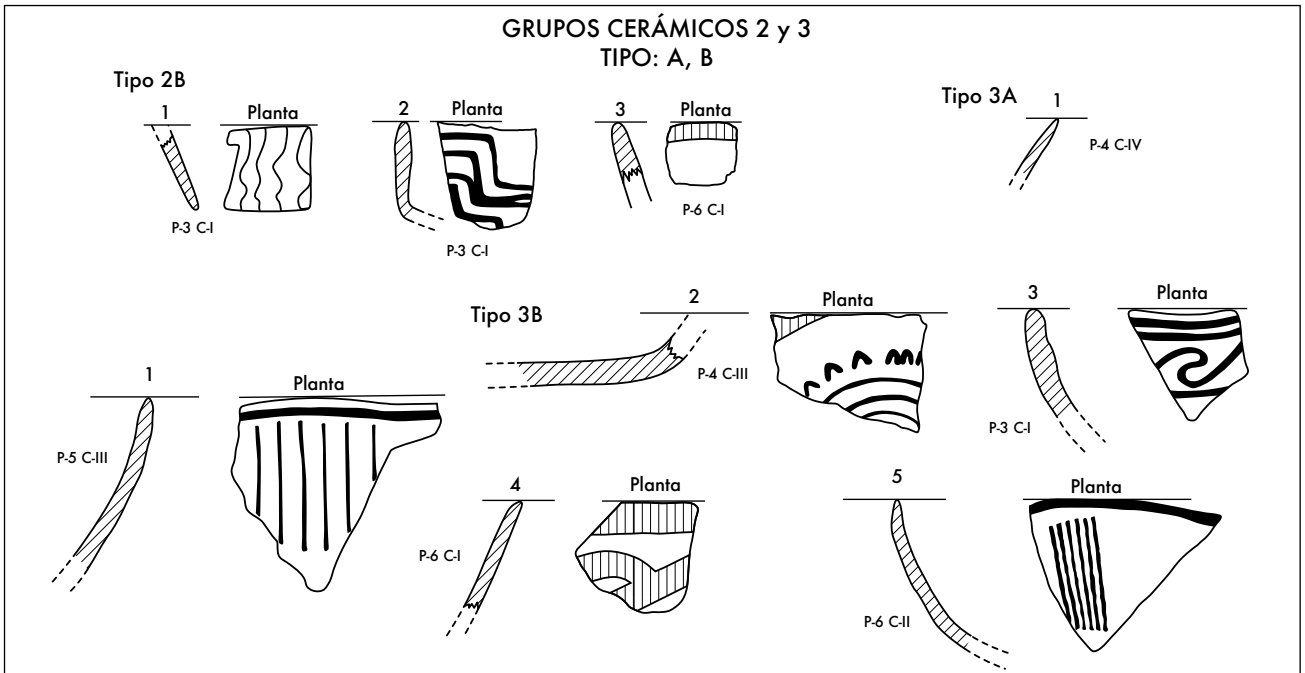


Fig. 14

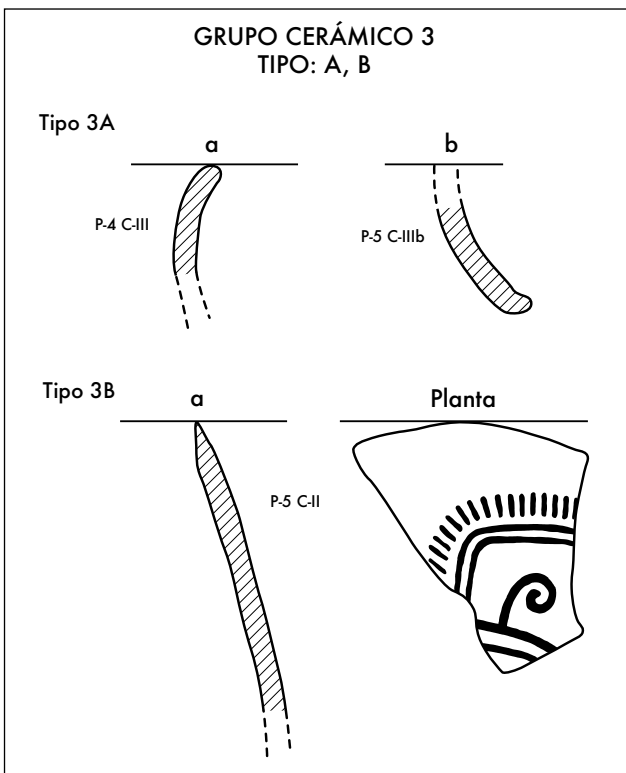


Fig. 15

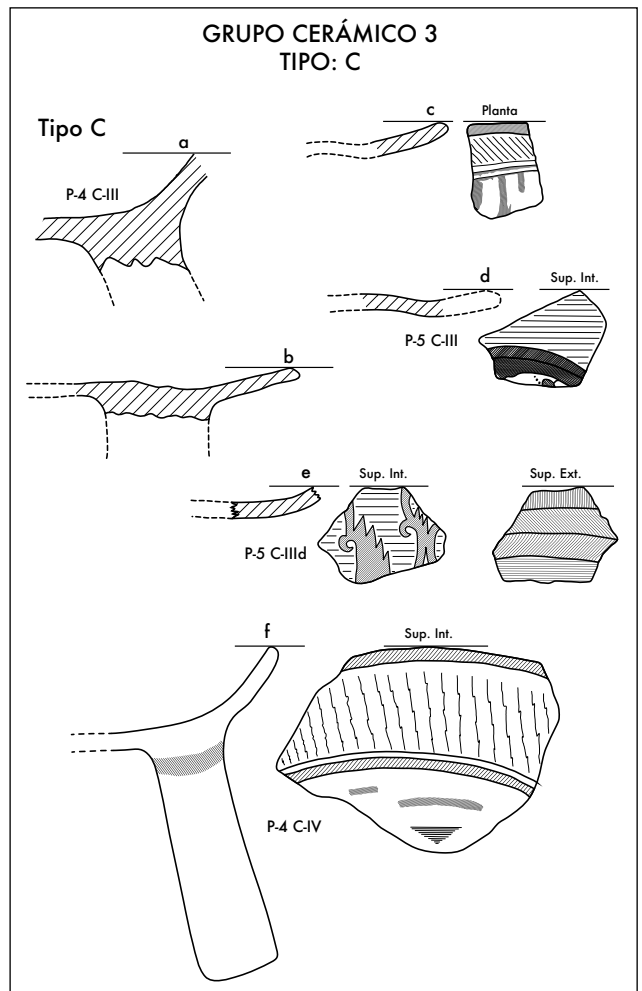


Fig. 16

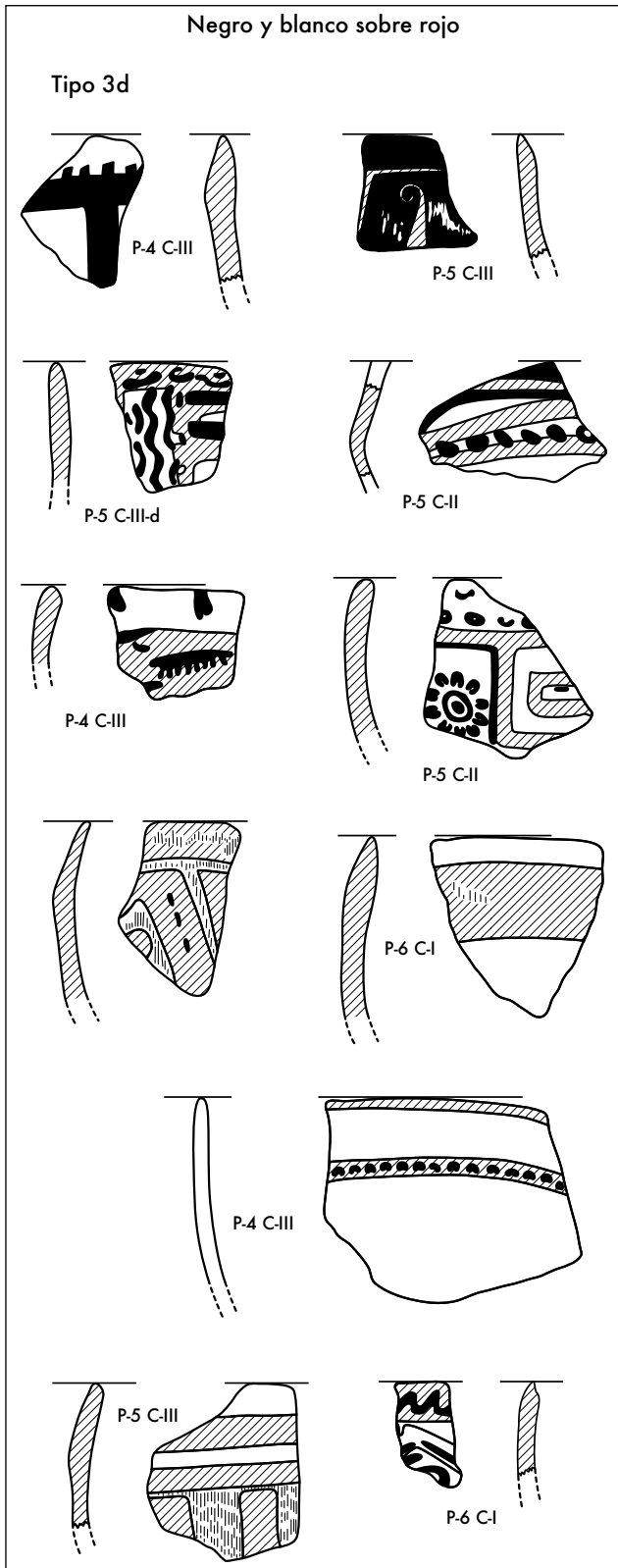


Fig. 16a

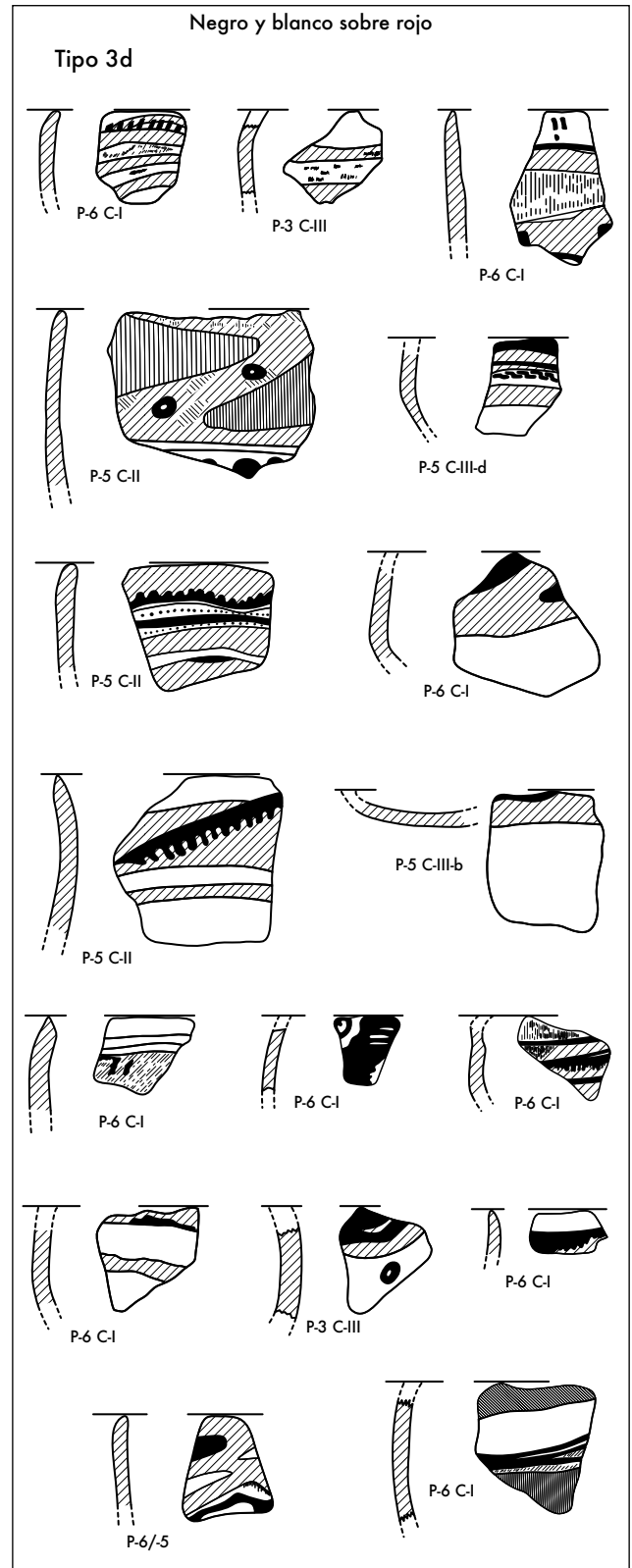


Fig. 16b

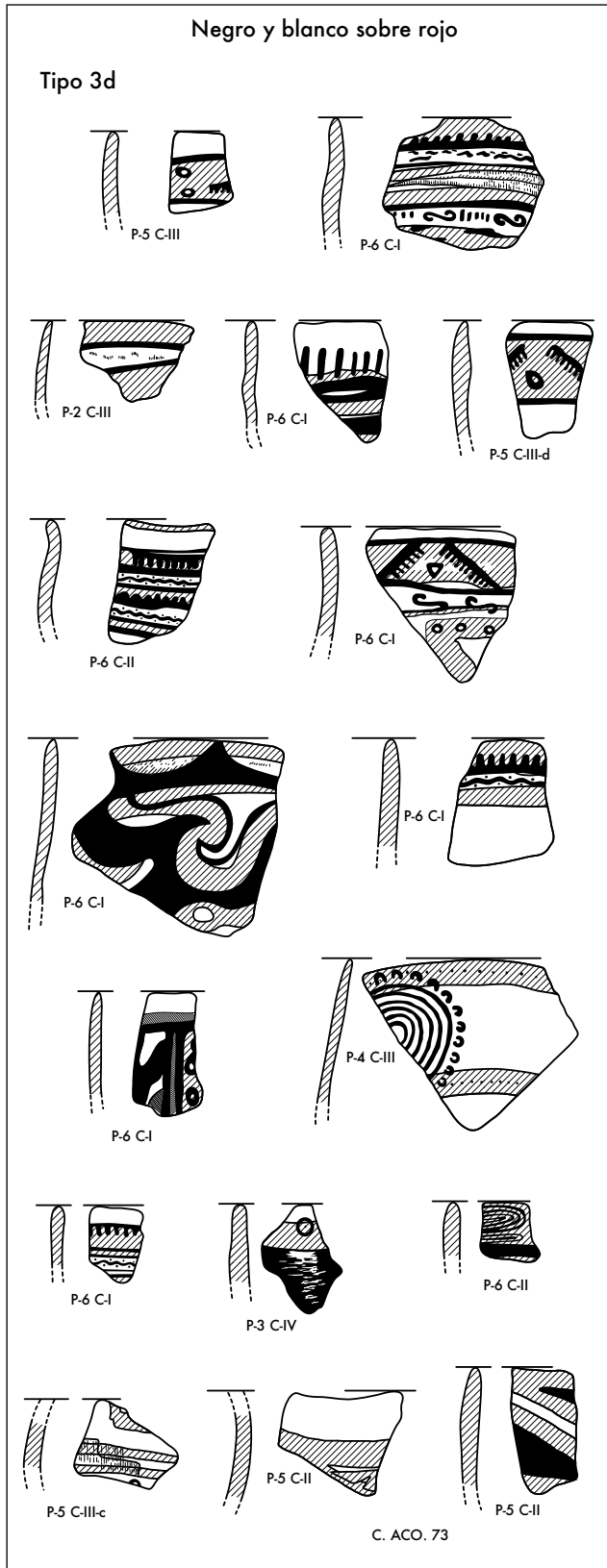


Fig. 16c

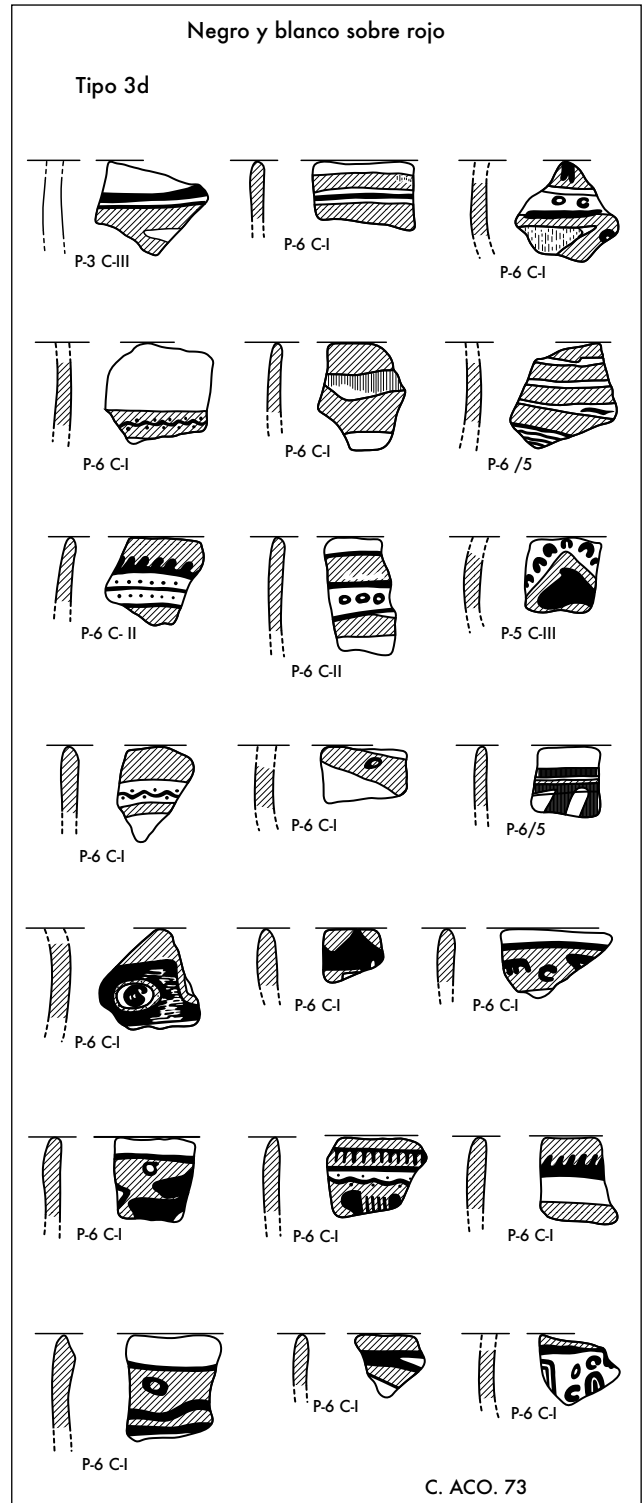


Fig. 16d

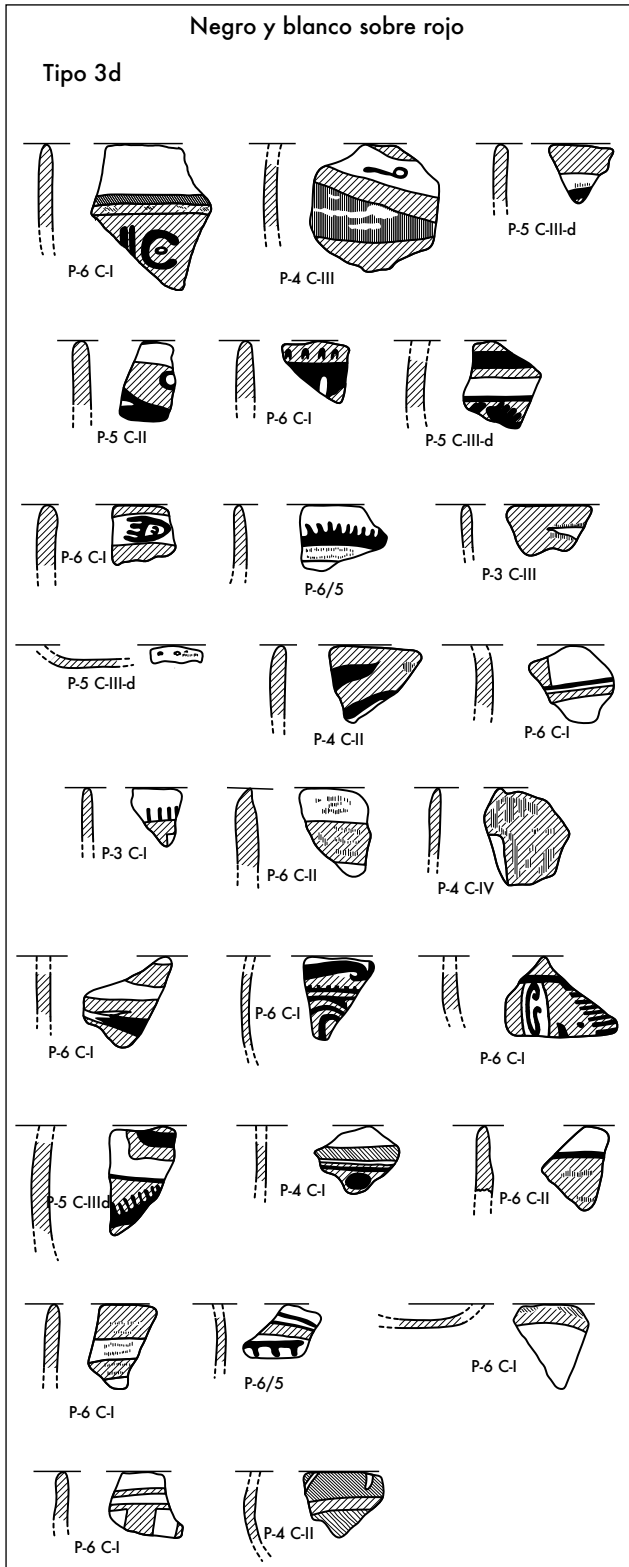
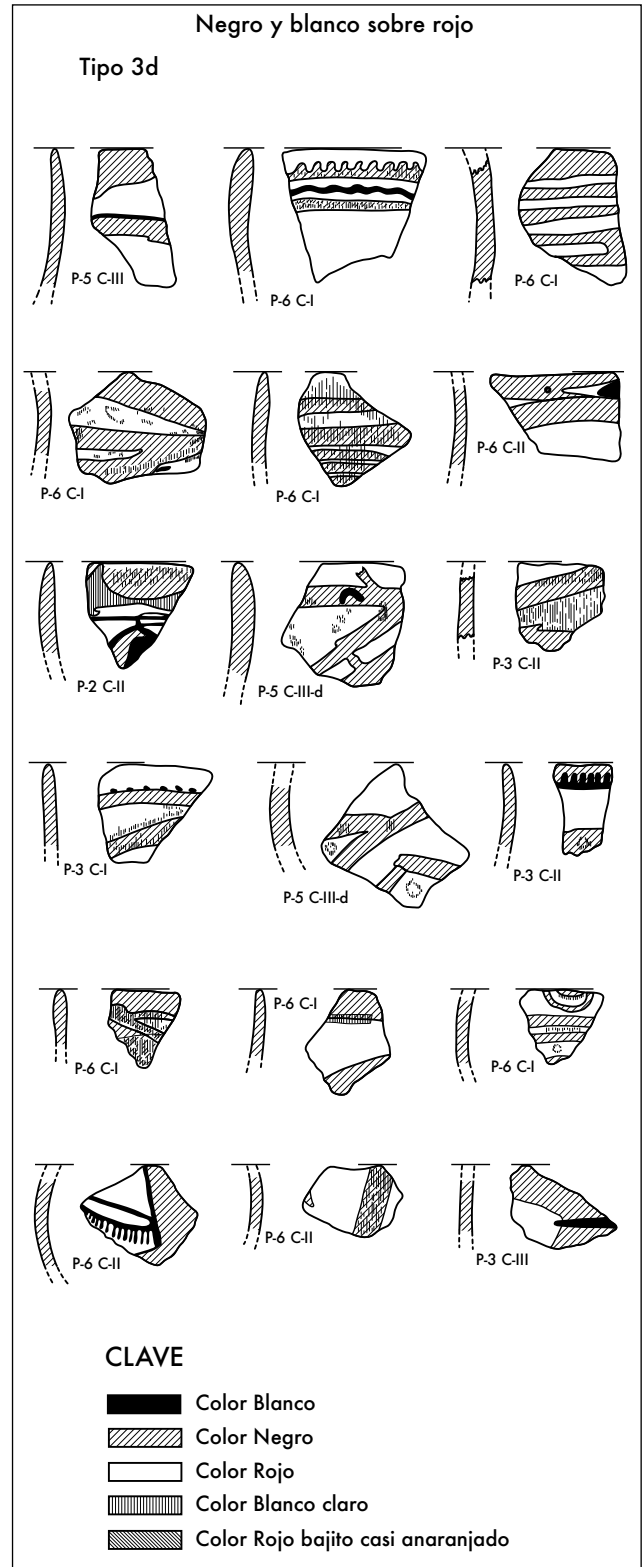


Fig. 16 e



CLAVE

- Color Blanco
- Color Negro
- Color Rojo
- Color Blanco claro
- Color Rojo bajito casi anaranjado

Fig. 16 f

Manejo estadístico

La distribución del material cerámico y lítico por pozos y capas en números absolutos se puede apreciar en las tablas 1a, b y c (figs. 17, 18, 19) haciendo un total de 4012 tiestos, que se distribuye por los grupos: grupo 1= 3 383, o sea el 84.32%; grupo 2= 1 350, o sea el 3.36%; grupo 3= 441, o sea el 10.99%, y el grupo 4 (lítica)= 53, o sea el 1.32%.

El grupo 1 corresponde a cerámicas domésticas o comunes (vea descripción de la cerámica); el grupo 2, a las cerámicas diagnósticas conocidas como aztecas, y las del grupo 3 son polícromas conocidas como texcocanas o cholultecas.

El material lítico guarda una relación de 1:74.69, es decir, por un fragmento lítico podemos esperar, en la región Acozac, Estado de México, dentro y cercano de la zona arqueológica, 74.69 tiestos cerámicos.

La seriación del material arqueológico presenta problemas en el sentido de que no había una estratificación obvia en lo que se refiere a los tipos. En el ordenamiento de todos los tipos cerámicos en todos los pozos y capas estratigráficas calculamos un coeficiente de concordancia (Kendall) significativo (fig. 24 y fig. 22),¹ quiere decir que los tipos cerámicos procedentes de distintos pozos estratigráficos son muy similares en su comportamiento en lo que se refiere a las capas estratigráficas=tiempo. Si hubiera una estratificación evidente del material arqueológico deberíamos esperar un coeficiente no significativo.

Hasta allí el carácter global del material, entrando en detalle sí podemos observar algunos fenómenos de estratificación interna, aunque debemos estar conscientes desde un principio que el material en estudio abarca un lapso muy reducido.

La presencia y ausencia de los tipos cerámicos en las capas estratigráficas de cada pozo está representado en la seriación que presentamos a continuación, siendo el grupo 1 siempre más reciente:

P1		
14, 16	_____	Grupo 1
1J, 1M, 3C, 1C	_____	Grupo 2
1B, 3A, 3B, 3D, 4, ZA	_____	Grupo 3
1E, 1F, 1D, 1A	_____	Grupo 4
P2		
1L, 1M, 1H, 1C	_____	Grupo 1
1A, 1B, 1J	_____	Grupo 2

P3		
2B, 16	_____	Grupo 1
1B, 1E, 1J, 1L, 1M, 3A, 3E, 3D, 4	_____	Grupo 2
1A, 1L, 1D, 1F, 1L, 2A, 3B	_____	Grupo 3
P4		
1A, 1C, 1J, 2A, 3D, 1M	_____	Grupo 1
1B, 1D, 1E, 1G, 1H, 1I, 1L, 3A, 3B, 3C, 4	_____	Grupo 2
P5		
1H, 1G	_____	Grupo 1
1J, 1M, 3C, 1C	_____	Grupo 2
1B, 3A, 3B, 3D, 4, AZ	_____	Grupo 3
1E, 1F, 1D, 1A		
P6		
1G, 1H, 1I, 2B	_____	Grupo 1
1A, 1B, 1C, 1D, 1J, 1M, 2A, 3A, 3B, 3E, 3D	_____	Grupo 2
1E, 1F, 4, 1L	_____	Grupo 3

Los grupos seriados en cada pozo son de variable validez calculando su coeficiente de concordancia. Consultando la fig. 21 resulta que los grupos formados por los tipos cerámicos en las figuras 26, 27 y 28 no son significativos en lo que se refiere al tiempo, aunque no se rechaza la hipótesis nula y los de la figura 34 y 35 sólo son significativos al 5% de la distribución curva F. El resto de los tipos se agrupa en forma positiva. Especialmente buenos son los resultados de los pozos 4 y 3 y, con alguna reserva, las del pozo 6.

Las seriaciones basadas en la presencia de todos los tipos cerámicos en todas capas estratigráficas de cada pozo fueron luego generalizadas formando tres grupos cerámicos que se caracterizan por tendencias temporales: (de lo más reciente a lo más antiguo).

1^{er} grupo: 1H, 1G, 2B, 1I, 1L, 1C, 3D, 1M, 1B, 1D, 3C

2^{do} grupo: 1J, 3A, 1B, 3B, 4

3^{er} grupo: 1E, 1F, 1D, 1A, 2A

Los coeficientes de concordancia en el caso de los tres grupos son significativos (véase los valores para las figs. 23, 24 y 25 en la fig. 21) en alto grado. Su parecido es muy grande en lo que se refiere a sus características temporales.

Si la primera seriación del material se basó en la presencia o ausencia de un tipo cerámico en algunos de los pozos y capas estratigráficas, el siguiente sistema está fundado en gráficas no paramétricas que resultan de las matrices representadas en las figuras 38 y 39.

1 Las figuras 24-82 se refieren a las tablas con ordenamiento no paramétrico. Los resultados calculados aparecen en las figuras 20 y 21 bajo el número de figura que corresponde a la tabla no paramétrica.

	Tipo 1A						Tipo 1B						Tipo 1C					
	P-1	P-2	P-3	P-4	P-5	P-6	P-1	P-2	P-3	P-4	P-5	P-6	P-1	P-2	P-3	P-4	P-5	P-6
Sup						47						7						2
C-I	73	27	97	17	4	441	3	1	9			141	6	1	4	1		7
C-II	94	244	153	8	54	110		2	34			36	7	15	8		22	4
C-III	3	28	82	109	39			1	22	36	12			1	3	5	4	
C-IIIb					30						10							
C-IIc					31						6							1
C-IIId					25													4
C-IV	30	36	14	158				2		15			1		1	3		
C-V	4						1											
Total	204	335	346	292	183	598	4	6	65	51	28	184	14	17	16	9	31	13

	Tipo 1D						Tipo 1E						Tipo 1F					
	P-1	P-2	P-3	P-4	P-5	P-6	P-1	P-2	P-3	P-4	P-5	P-6	P-1	P-2	P-3	P-4	P-5	P-6
Sup						12												2
C-I			41			122			2			13			7			30
C-II	4		51		16	37			1		2	3			15		2	8
C-III	1		38	41	10				4	3					8	8		1
C-IIIb					8													
C-IIc					4													
C-IIId					10						5						2	
C-IV			13	33						3					1	3		
C-V																		
Total	5	0	143	74	48	171	0		7	6	7	16	0	0	31	11	4	41

Fig. 17
Tabla 1a

De las gráficas IIa, b y IIIa, b*, resulta la siguiente relación interna de los tipos del grupo 1 y los tipos del grupo 2, 3 y 4 entre sí, según si disminuye o aumenta su representatividad.

El sistema de las estadísticas no paramétricas se funda en el principio de rango o estatus que puede tener un elemento (tipo cerámico) en relación con otros elementos (tipos cerámicos). Por ejemplo: el elemento más numeroso en una capa estratigráfica ocupa el rango número uno, y así sucesivamente. Las curvas de las gráficas II y III no son otra cosa que la representación gráfica de la variación de un tipo cerámico en sus valores-rango en las distintas capas estratigráficas.

La interpretación de la configuración de cada curva de un tipo cerámico se basa en el principio fundamental y ordenador de las relaciones internas de la cerámica en general: es más reciente un tipo cerámico en cuanto a otro cuando su curva tiende a aumentar sus valores-rangos hacia las capas superiores y es más antiguo cuando su conducta es contraria. Un tipo es indiferente cuando sus valores-rangos no sufren alteraciones en las distintas capas estratigráficas.

El cálculo de los coeficientes de concordancia está explicado en el libro de Felipe Montemayor 1973 sobre *Fórmulas estadísticas para investigadores*.

Por lo expuesto anteriormente las relaciones internas de la cerámica se presentan de la siguiente manera:

Grupo 1
 1F, 1C ————— Reciente
 1D, 1C, 1H, 1E, 1A ————— Intermedio
 1M, 1G, 1B, 1I 1L ————— Antiguo

Grupo 2, 3, 4
 3B, 3A ————— Intermedio
 3C, 3D, 2A, 4 ————— Antiguo

Luego, un grupo de tipos continuos, es decir, tipos cerámicos que durante las capas estratigráficas en las cuales están presentes no cambian considerablemente su representatividad y por el otro lado, tipos cerámicos discontinuos, tipos que aumentan o disminuyen su representatividad en las distintas capas estratigráficas.

Grupo continuo: 1A, 1B, 1J, 1I, 1M

Grupo discontinuo: 1F, 1C, 1E, 1H, 1L, 1G

* Nota del editor: Se respeta la numeración de las gráficas tal como figura en la publicación original; es decir, se inicia a partir de la gráfica II.

	Tipo 1G						Tipo 1H						Tipo 1I					
	P-1	P-2	P-3	P-4	P-5	P-6	P-1	P-2	P-3	P-4	P-5	P-6	P-1	P-2	P-3	P-4	P-5	P-6
Sup																		2
C-I			2			2					1	1			2			
C-II			15		1		1	1		2					9			
C-III				3											3	8		
C-IIIb											1							
C-IIIc																		
C-IV									1							3		
C-V																		
Total	0	0	17	3	1	2	1	1	0	3	2	1	0	0	14	11	0	2

	Tipo 1J						Tipo 1L						Tipo 1M					
	P-1	P-2	P-3	P-4	P-5	P-6	P-1	P-2	P-3	P-4	P-5	P-6	P-1	P-2	P-3	P-4	P-5	P-6
Sup						5												2
C-I	4		1	3		47	2	3				1	1		17	1		26
C-II	11	15	24	1	6	13	4	9	11			2	1	2	31		3	2
C-III	1	2	6	16	17				3	9					13	18	4	
C-IIIb																		
C-IIc																		
C-IIId																		
C-IV	1	1		8					1							15		
C-V							2											
Total	17	18	31	28	23	65	8	12	14	10	0	3	2	2	61	34	7	30

Fig. 18
Tabla 1b

En el caso de los tipos de los grupos 2, 3 y 4 no existe continuidad alguna. Comparando los grupos continuos y discontinuos de las cerámicas del grupo 1 —cerámicas usuarias comunes, domésticas— podemos observar que están divididos numéricamente casi por la mitad. Sus coeficientes de concordancia (fig. 21; figs. 44 y 43) son altamente significativos en lo que se refiere a su temporalidad, aunque el coeficiente del grupo discontinuo mucho menos. Si hubiera realmente una estratificación significativa, especialmente este grupo debería tener un coeficiente muy cercano a 0, es decir un valor que marca una desigualdad entre los tipos en lo que se refiere al tiempo. Fijándose en la gráfica II a y b, vemos que la tendencia general de los tipos discontinuos es disminuir su representatividad hacia las capas estratigráficas superiores, lo que hace homogéneo este grupo en su desarrollo y por eso el coeficiente es significativo en lo que se refiere a su temporalidad. Los grupos 2, 3, 4 en su discontinuidad muestran igualmente la misma tendencia.

En lo que se refiere a los grupos establecidos por procedimientos no paramétricos (vea fig. 21; figs. 40, 41, 42, 45A, 45B y 46) muestran coeficientes de concordancia en general significativos, especialmente los de los grupos 2, 3 y 4, y solamente son poco

significativos en el caso del grupo 1 (reciente), donde su validez sólo puede considerarse al 5% de la distribución de la curva F (fig. 40). Este grupo parece mal establecido, porque habiendo ya demostrado que la tendencia general es disminuir la representatividad, no aumentaría. Además sólo consta de dos tipos, caso en el cual los coeficientes de concordancia fácilmente pueden ser alterados.

Comparando las curvas no paramétricas de las gráficas II y III los grupos 2, 3 y 4 pueden considerarse en general ligeramente más antiguas que los tipos de la misma categoría del grupo cerámico 1. Por eso se propone como resumen de esta seriación lo siguiente:

- Tipos
 1F, 1C, 1D, 1C, 1H, 1E, 1A, 3B, 3A ————— Reciente
 1M, 3G, 1B, 1I, 1L ————— Antiguo
 3C, 3D, 2A, 4

Los tipos recientes del grupo cerámico 1 se reprimió por haber demostrado que estaba mal establecido y se reunió al grupo intermedio o reciente de la seriación arriba expuesta. En el grupo 2, 3, y 4 sólo tenemos dos grupos con ligeras tendencias tempora-

Tipo 2A						
	P-1	P-2	P-3	P-4	P-5	P-6
Sup						1
C-I			17	3		26
C-II			27	1	4	3
C-III			17	16	11	
C-IIIb						
C-IIId					11	
C-IV			3	16		
C-V						
Total	0	0	64	36	26	30

	Tipo 2B						Tipo 3A					
	P-1	P-2	P-3	P-4	P-5	P-6	P-1	P-2	P-3	P-4	P-5	P-6
Sup						3						3
C-I			10			7			8			82
C-II			7		1	6			31		11	15
C-III			2	7	3				11	7	27	
C-IIIb												
C-IIId												
C-IV		1		3					1	1		
C-V												
Total	0	1	19	10	4	16	0	0	51	8	38	100

Tipo 3B						
	P-1	P-2	P-3	P-4	P-5	P-6
Sup						
C-I			2			1
C-II						
C-III						
C-IIIb	1			1		
C-IIId						
C-IV						
C-V						
Total	1	0	2	1	0	0

	Tipo 3C						Tipo 3D						Tipo 4					
	P-1	P-2	P-3	P-4	P-5	P-6	P-1	P-2	P-3	P-4	P-5	P-6	P-1	P-2	P-3	P-4	P-5	P-6
Sup						1						1						
C-I			3			24	3		17	1		16			4			12
C-II			8		8	6			20		8	4			3		1	5
C-III			12	12	11				3	2	5				4	7	9	
C-IIIb																		
C-IIId																		
C-IV				6						23						8		
C-V																		
Total	0	0	23	18	19	31	3	0	40	26	13	21	0	0	11	15	10	17

Fig. 19
Tabla 1c

les, así que de nuevo formulamos dos grupos definitivos divididos en reciente y antiguo o menos reciente.

Comparando esta seriación con la primera basada en la presencia o ausencia de los tipos cerámicos en las capas estratigráficas, notamos ciertas diferencias. En el primer caso tenemos tres grupos en lugar de dos. Luego los tipos 1E, 1F, 1B y 1A, aparecen una vez como los más recientes, otra vez como los más antiguos, mientras los tipos de los grupos 2, 3 y 4 no se disparan tanto, pero también viendo el detalle los resultados son contradictorios.

La explicación de por qué dos sistemas llegan a resultados contradictorios y sin embargo, sea estadísticamente válida, se funda en el hecho de que no se cuenta con una muestra suficientemente estratificada para que sea detectable a través de procedimientos estadísticos. Sin embargo, en caso de que existiera alguna estratificación o seriación entre el material arqueológico, creo que sea la seriación establecida por curvas no paramétricas la correcta, debido a que es mucho más sensible a las variaciones en el comportamiento de cada tipo cerámico en cada una de las capas estratigráficas.

Otro examen que se hizo al material constaba de la prueba para determinar qué tan parecidos en su aspecto temporal, son los grupos 2, 3 y 4 en cada pozo (figs. 20, 21 y figs. 49, 50, 47, 48 y 51). En el caso de los pozos 4, 5, 6 y 3, los coeficientes resultan significativos, sólo en el caso del pozo 1 no, luego se vio la relación de los tipos cerámicos (grupo 2, 3 y 4) con los pozos estratigráficos. (fig. 20 y figs. 52, 53 y 54). Los coeficientes de concordancia son significativos en los casos de las figuras 53, 54 y negativos en el caso de la figura 52, que incluye varios pozos estratigráficos. Esto quiere decir que existe similitud entre los tipos

del grupo 2, 3 y 4, en lo que se refiere a los pozos 3 y 6 y no en lo que se refiere a los pozos 1 y 6, igualmente existe similitud entre los pozos 3 y 6 en lo que se refiere a los tipos de los grupos cerámicos 2, 3 y 4 (fig. 20).

El resultado de esta operación es: los tipos de los grupos 2, 3 y 4 tienen por lo general un comportamiento homogéneo no estratificado, sólo en el caso de los pozos 1 y 2 existen argumentos para pensar en una estratificación y secuencia de los tipos cerámicos (figs. 20 y 21 y figs. 47 y 52).

En la fig. 55-74 (fig. 20) vemos el comportamiento de los tipos en relación con capas y pozos estratigráficos, y resulta que sólo en el caso del tipo 1A tenemos un coeficiente significativo en lo que se refiere a la similitud de los pozos en relación con las capas estratigráficas. Todos los demás tipos e inclusive la lítica demuestra un comportamiento negativo o disímil. La explicación está en que los pozos 1 y 2 contienen material estratificado y los demás no (fig. 20; figs. 75, 76, 77, 78, 80, 79). Esto es suficiente para que los coeficientes salen no significativos en el caso del tipo 1A, pero no es suficiente argumento para que el coeficiente sea no significativo cuando comparamos todos los tipos contra todos los pozos y viceversa (fig. 20 y figs. 81 y 82).

Resumiendo el trabajo del manejo estadístico podemos constatar que el material arqueológico en general (correlación entre todos los pozos estratigráficos) no estaba estratificado, con excepción de los pozos 1 y 2. Pero también allí la estratificación no es muy obvia a simple vista, por eso no modifica el cuadro cuando tratamos el material en su totalidad de espacio y de tiempo.

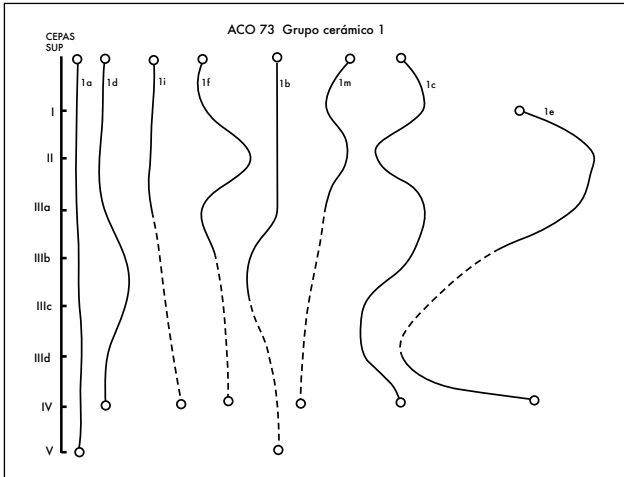
Coeficientes de concordancia según Kendall (1962)

Fig	Matriz	W	F	X ²	Significado Distr. F. 1% y 5% o X ²
49	G2, 3, 4/P 4 C/T	0.75	18.00		18.00 > 5.29 > 3.24
50	G2, 3, 4/P 5 C/T	0.50	6.00		6.00 > 5.29 > 3.24
47	G2, 3, 4/P 1 C/T	0.22	1.69		3.38 > 2.38 > 1.69
48	G2, 3, 4/P 3 C/T	0.59	8.63		8.63 > 5.29 > 3.24
51	G2, 3, 4/P 6 C/T	0.93	79.71		79.71 > 7.56 > 4.10
52	G2, 3, 4/P 1-6 C/P	0.26	1.75		3.53 > 2.44 > 1.75
53	G2, 3, 4/P 3-6 T/P	0.67	6.09		6.09 > 4.10 > 2.70
54	G2, 3, 4/P 3-6 P/T	0.61	9.38		9.38 > 5.29 > 3.24
55	G 1-a C/P	0.48		23.04	23.04 > 15.09 > 11.07
56	G 1-a C/P	0.28	1.94		1.94 < 3.41 < 5.74 > 1.94
57	G 1-b C/P	0.03	0.15		3.41 < 5.74 > 0.15
58	G 1-c C/P	0.29	2.04		3.41 < 5.74 > 2.04
59	G 1-d C/P	0.19	0.01		3.41 < 5.74 > 0.01
60	G 1-e C/P	0.03	0.15		3.41 < 5.74 > 0.15
61	G 1-i C/P	0.24	0.21		3.41 < 5.74 > 0.21
62	G 1-j C/P	0.24	1.58		3.41 < 5.74 > 1.58
63	G 1-l C/P	0.19	1.17		3.41 < 5.74 > 1.17
64	G 1-g C/P	0.09	0.49		3.41 < 5.74 > 0.49
65	G 1-f C/P	0.03	0.15		3.41 < 5.74 > 0.15
66	G 1-h C/P	0.15	0.88		3.41 < 5.74 > 0.88
67	G 1-m C/P	0.19	0.15		3.41 < 5.74 > 0.15
68	G 2-a C/P	0.05	0.26		3.41 < 5.74 > 0.26
69	G 2-b C/P	0.07	0.38		3.41 < 5.74 > 0.38
70	G 3-a C/P	0.02	0.10		3.41 < 5.74 > 0.10
71	G 3-b C/P	0.10	0.56		3.41 < 5.74 > 0.56
72	G 3-c C/P	0.12	0.68		3.41 < 5.74 > 0.68
73	G 3-d C/P	0.08	0.43		3.41 < 5.74 > 0.43
74	G 4 C/P	0.05	0.26		3.41 < 5.74 > 0.26
75	G 1/P1 C/T	0.39	2.85		2.90 < 4.69 > 2.85
76	G 1/P2 C/T	0.07	0.15		5.79 < 13.27 > 0.15
77	G 1/P3 C/T	0.93	66.43		66.43 > 5.74 > 3.41

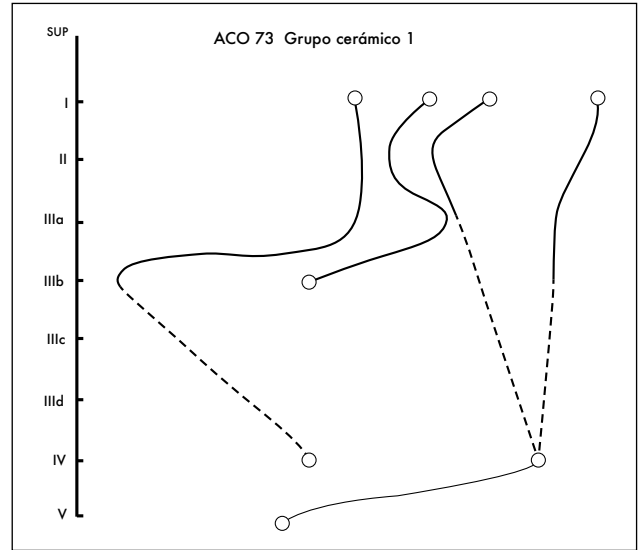
Fig. 20

Fig.	Matriz	W	F	X ²	Significado Distr. F. 1% y 5% o X ²
78	G1/P4 C/T	0.84	26.25		26.25 > 5.74 > 3.41
80	G1/P5 C/T	0.45	6.43		6.43 > 3.02 > 2.19
79	G1//P6 C/T	0.97	161.70		161.70 > 5.74 > 3.41
81	G1/ T/P	0.65		42.90	42.90 > 24.72 > 19.68
82	G1/ P/T	0.40	7.33		7.33 > 3.41 > 2.40
44	G1/CNCP C/T	0.89	32.36		32.36 > 3.02 > 2.19
43	G1/CNPAR C/T	0.68	10.63		10.63 > 3.02 > 2.19
40	G1/CNPR C/T	0.38	4.89		7.00 > 4.89 > 3.79
41	G1/CNP1 C/T	0.50	5.00		5.00 > 3.02 > 2.19
42	G1/CNPA C/T	0.77	13.39		13.39 > 3.17 > 2.27
45a	G 2, 3, 4/ CNPA C/T	0.79	12.29		11.29 > 3.41 > 2.38
45b	G 2, 3, 4/ CNPA C/T	0.79	12.29		11.29 > 5.76 > 3.36
46	G 2, 3, 4/ CNPI C/T	0.95	19.00		29.46 > 19.00 > 9.28
26	P1 g 2SCna C/T	0.45	3.14		6.22 > 3.59 > 3.14
27	P2 g 1SCna C/T	0.55	3.25		6.99 > 4.07 > 3.25
28	P2 g 2SCna C/T	0.77	5.14		13.27 > 5.79 > 5.14
29	P3 g 2SCna C/T	0.64	13.62		13.62 > 4.82 > 3.05
30	P3 g 3SCna C/T	0.86	34.00		34.00 > 5.42 > 3.29
31	P4 g 1SCna C/T	0.91	48.55		48.55 > 5.29 > 3.24
31	P4 g 2SCna C/T	0.66	20.43		20.43 > 4.46 > 2.90
32	P5g 2SCna C/T	0.71	7.35		7.35 > 4.69 > 2.96
33	P5 g 3SCna C/T	0.53	5.64		5.64 > 3.94 > 2.64
34	P5 g 4SCna C/T	0.58	3.98		4.69 > 3.98 > 2.96
35	P6 g 1SCna C/T	0.67	5.33		7.59 > 5.33 > 4.07
36	P6 g 2SCna C/T	0.98	490.00		490.00 > 4.57 > 2.95
37	P6g 3SCna C/T	0.77	8.54		8.54 > 7.59 > 4.07
22	C/ todos los tipos	0.72		109.44	109.44 > 21.67 > 16.92
23	C/ 1º grupo PA	0.78		68.64	68.64 > 21.67 > 16.92
24	C/ 2º grupo PA	0.73		40.88	40.88 > 21.67 > 16.92
25	C/ 3º grupo PA	0.90	36.00		36.00 > 3.17 > 2.27

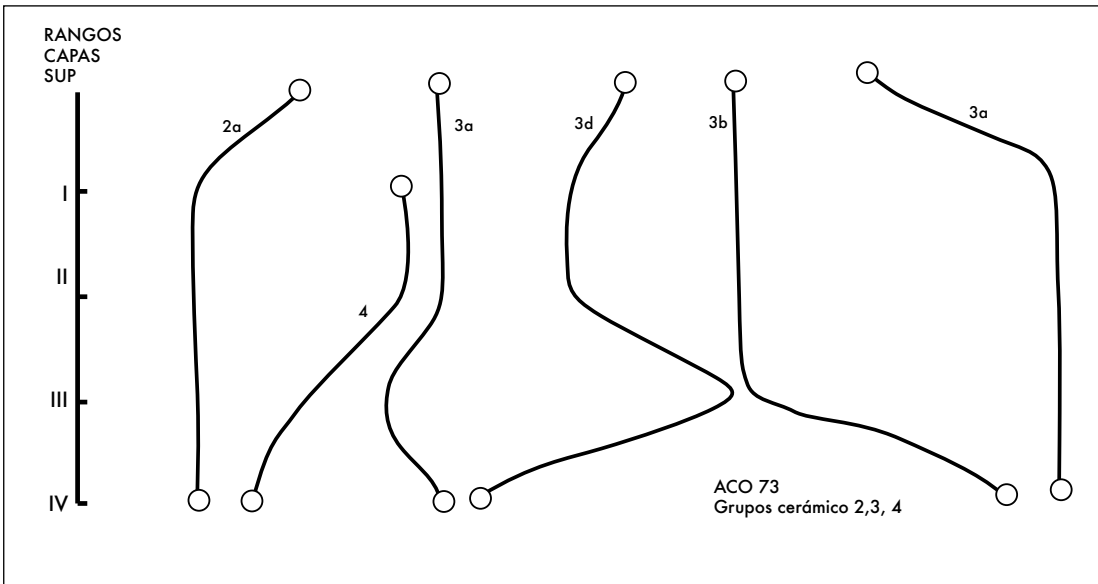
Fig. 21



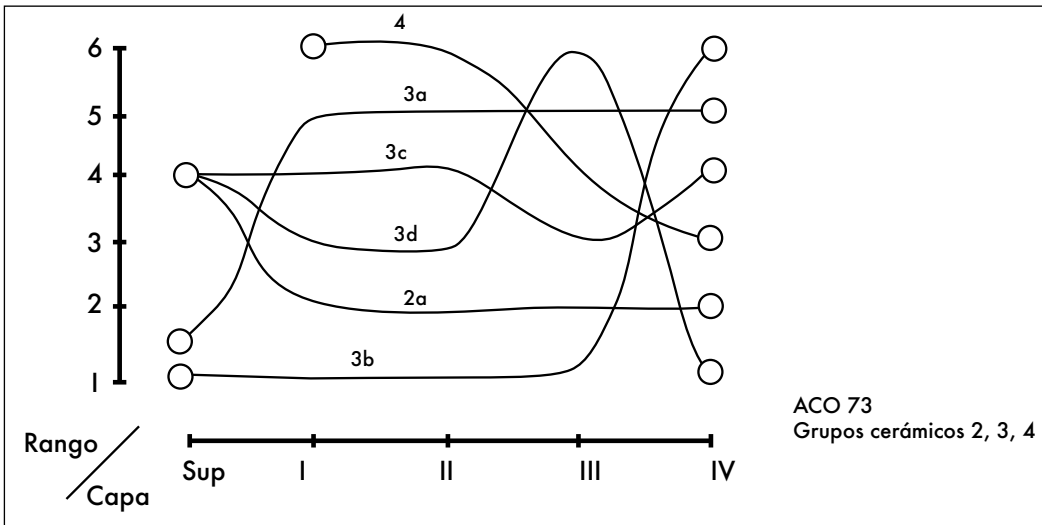
Gráfica IIa



Gráfica IIb



Gráfica IIIa



Gráfica IIIb

T C	1A	1B	1C	1D	1E	1F	1G	1H	1I	1J	1L	1M	2A	2B	3A	3B	3C	3D	4	R	$\frac{(R-\sum R^2)}{N}$
Sup	5.0	6.0	6.0	5.0	7.5	5.5	6.5	7.0	7.0	5.0	7.0	5.0	6.0	6.0	5.0	4.0	5.0	5.0	7.0	110.5	240.25
C-I	1.0	1.0	2.0	1.0	1.0	1.0	2.0	2.0	3.0	2.0	3.0	1.0	1.0	1.0	1.0	1.0	1.0	1.0	1.0	27.0	4624.00
C-II	2.0	3.0	1.0	2.0	3.0	2.0	1.0	1.0	2.0	1.0	1.0	2.0	3.0	6.0	2.0	2.0	3.0	2.0	3.0	42.0	2809.00
C-III-a	3.0	2.0	3.0	3.0	2.0	3.0	3.0	7.0	1.0	3.0	2.0	3.0	2.0	6.0	3.0	3.0	2.0	4.0	2.0	57.0	1444.00
C-III-b	7.0	5.0	8.5	7.0	7.5	8.0	6.5	3.5	7.0	7.5	7.0	7.5	8.0	2.0	7.5	7.5	7.5	7.5	7.0	129.0	961.00
C-III-c	6.0	7.0	7.0	8.0	7.5	8.0	6.5	7.0	7.0	7.5	7.0	7.5	8.0	6.0	7.5	7.5	7.5	7.5	7.0	137.0	1764.00
C-III-d	8.0	8.5	5.0	6.0	4.0	5.5	6.5	7.0	7.0	7.5	7.0	7.5	5.0	6.0	7.5	7.5	7.5	7.5	7.0	120.0	1056.00
C-IV	4.0	4.0	4.0	4.0	5.0	4.0	6.5	3.5	4.0	4.0	4.0	4.0	4.0	6.0	4.0	5.0	4.0	3.0	4.0	81.0	196.00
C-V	9.0	8.5	8.5	9.0	7.5	8.0	6.5	7.0	7.0	7.5	7.0	7.5	8.0	6.0	7.5	7.5	7.5	7.5	7.0	144.0	2401.00
Total	45	45	45	45	45	45	45	45	45	45	45	45	45	45	45	45	45	45	45	855.00	15495.00

Fig. 22

T C	1H	1G	2B	1I	1L	1C	3D	1M	1B	1D	3C	R	$\frac{(R-\sum R^2)}{N}$
Sup	7.0	6.5	6.0	7.0	7.0	6.0	5.0	5.0	6.0	5.0	5.0	65.5	240.25
C-I	2.0	2.0	1.0	3.0	3.0	2.0	1.0	1.0	1.0	1.0	1.0	18.0	729.00
C-II	1.0	1.0	6.0	2.0	1.0	1.0	2.0	2.0	3.0	2.0	3.0	24.0	441.00
C-III-a	7.0	3.0	6.0	1.0	2.0	3.0	4.0	3.0	2.0	3.0	2.0	39.0	36.00
C-III-b	3.5	6.5	2.0	7.0	7.0	8.5	7.5	7.5	5.0	7.0	7.5	69.0	576.00
C-III-c	7.0	6.5	6.0	7.0	7.0	7.0	7.5	7.5	7.0	8.0	7.5	78.0	1089.00
C-III-d	7.0	6.5	6.0	7.0	7.0	5.0	7.5	7.5	8.5	6.0	7.5	75.5	930.25
C-IV	3.5	6.5	6.0	4.0	4.0	4.0	3.0	4.0	4.0	4.0	4.0	47.0	4.00
C-V	7.0	6.5	6.0	7.0	7.0	8.5	7.5	7.5	8.5	9.0	7.5	82.0	1369.00
Total	45	45	45	45	45	45	45	45	45	45	45	495.00	5594.5

Fig. 23

T C	1	3A	1B	3B	4	2A	1E	R	$\frac{(R-\sum R^2)}{N}$
Sup	5.0	5.0	6.0	4.0	7.0	6.0	7.5	40.5	30.25
C-I	2.0	1.0	1.0	1.0	1.0	1.0	1.0	8.0	729.00
C-II	1.0	2.0	3.0	2.0	3.0	3.0	3.0	17.0	324.00
C-III-a	3.0	3.0	2.0	3.0	2.0	2.0	2.0	17.0	324.00
C-III-b	7.5	7.5	5.0	7.5	7.0	8.0	7.5	50.0	225.00
C-III-c	7.5	7.5	7.0	7.5	7.0	8.0	7.5	52.0	289.00
C-III-d	7.5	7.5	8.5	7.5	7.0	5.0	4.0	47.0	144.00
C-IV	4.0	4.0	4.0	5.0	4.0	4.0	5.0	30.0	25.00
C-V	7.5	7.5	8.5	7.5	7.0	8.0	7.5	53.5	342.25
Total	45	45	45	45	45	45	45	315.00	2108.50

Fig. 24

T C	1E	1F	1D	1A	2A	R	$\frac{(R-\sum R^2)}{N}$
Sup	7.5	5.5	5.0	5.0	6.0	29.0	16.00
C-I	1.0	1.0	1.0	1.0	1.0	5.0	400.00
C-II	3.0	2.0	2.0	2.0	3.0	12.0	169.00
C-III-a	2.0	3.0	3.0	3.0	2.0	13.0	144.00
C-III-b	7.5	8.0	7.0	7.0	8.0	37.5	156.25
C-III-c	7.5	8.0	8.0	6.0	8.0	37.5	156.25
C-III-d	4.0	5.5	6.0	8.0	5.0	28.5	12.25
C-IV	5.0	4.0	4.0	4.0	4.0	21.0	16.00
C-V	7.5	8.0	9.0	9.0	8.0	41.5	272.25
Total	45	45	45	45	45	225.0	1342.00

Fig. 25

T C	1b	1L	1M	1B	1C	R	$\frac{(R-\sum R^2)}{N}$
C-I	4.0	2.0	1.5	1.0	2.0	10.5	30.25
C-II	1.0	1.0	1.5	4.0	1.0	8.5	56.25
C-III	2.0	4.0	4.0	4.0	4.5	18.5	6.25
C-IV	4.0	4.0	4.0	4.0	3.0	19.0	9.00
C-V	4.0	4.0	4.0	2.0	4.5	18.5	6.25
Total	15	15	15	15	15	75.00	108.00

Fig. 26

T C	1L	1M	1H	1C	R	$\frac{(R-\sum R^2)}{N}$
C-I	1.0	3.0	3.0	2.5	9.5	0.25
C-II	2.0	1.0	1.0	1.0	5.0	25.00
C-III	3.5	3.0	3.0	2.5	12.0	4.00
C-IV	3.5	3.0	3.0	4.0	13.5	12.25
Total	10	10	10	10	40.00	41.50

Fig. 27

T \ C	1A	1b	1J	R	$\frac{(R-\sum R^2)}{N}$
C-I	4.0	3.5	4.0	11.5	16.00
C-II	1.0	1.5	1.0	3.5	16.00
C-III	3.0	3.5	2.0	8.5	1.00
C-IV	2.0	1.5	3.0	6.5	1.00
Total	10	10	10	30.00	34.00

Fig. 28

T \ C	1B	1E	1I	1J	1M	3A	3c	3b	4	R	$\frac{(R-\sum R^2)}{N}$
C-I	3.0	2.0	3.0	3.0	2.0	1.0	3.0	2.0	1.5	20.5	4.00
C-II	1.0	3.0	1.0	1.0	1.0	2.0	2.0	1.0	3.0	15.0	56.25
C-III	2.0	1.0	2.0	2.0	3.0	3.0	1.0	3.0	1.5	18.5	16.00
C-IV	4.0	4.0	4.0	4.0	4.0	4.0	4.0	4.0	4.0	36.0	182.25
Total	45	45	45	45	45	45	45	45	45	90.00	258.50

Fig. 29

T \ C	1A	1C	1J	2A	3D	1M	R	$\frac{(R-\sum R^2)}{N}$
C-I	3.0	3.0	3.0	3.0	3.0	3.0	18.0	9.00
C-II	4.0	4.0	4.0	4.0	4.0	4.0	24.0	81.00
C-III	2.0	1.0	1.0	1.5	2.0	1.0	8.5	42.25
C-IV	1.0	2.0	2.0	1.5	1.0	2.0	9.5	30.25
Total	10	10	10	10	10	10	60.00	162.50

Fig. 30

T \ C	1A	1C	1D	1F	1L	2A	3B	R	$\frac{(R-\sum R^2)}{N}$
C-I	2.0	2.0	2.0	3.0	3.5	2.5	3.0	18.0	0.25
C-II	1.0	1.0	1.0	1.0	1.0	1.0	1.0	7.0	110.25
C-III	3.0	3.0	3.0	2.0	2.0	2.5	2.0	17.5	
C-IV	4.0	4.0	4.0	4.0	3.5	4.0	4.0	27.5	100.00
Total	10	10	10	10	10	10	10	70.00	210.50

Fig. 31

T \ C	1B	1D	1E	1F	1G	1H	1I	1L	3A	3B	3C	4	R	$\frac{(R-\sum R^2)}{N}$
C-I	3.5	3.5	3.5	3.5	3.0	3.5	3.5	3.5	3.5	3.5	3.5	3.5	41.5	132.25
C-II	3.5	3.5	3.5	3.5	3.0	1.0	3.5	3.5	3.5	3.5	3.5	3.5	39.0	81.00
C-III	1.0	1.0	1.5	1.0	1.0	3.5	1.0	1.0	1.0	1.0	1.0	1.0	15.0	225.00
C-IV	2.0	2.0	1.5	2.0	3.0	2.0	2.0	2.0	2.0	2.0	2.0	2.0	24.5	30.25
Total	10	10	10	10	10	10	10	10	10	10	10	10	120	468.50

Fig. 31a

T \ C	1C	1J	1M	3C	R	$\frac{(R-\sum R^2)}{N}$
C-I	4.5	4.5	5.5	4.5	19.0	25.00
C-II	2.0	2.0	1.0	2.0	7.0	49.00
C-III-a	1.0	1.0	2.5	1.0	5.5	72.25
C-III-b	4.5	4.5	5.5	4.5	19.0	25.00
C-III-c	4.5	4.5	4.0	4.5	17.5	12.25
C-III-d	4.5	4.5	2.5	4.5	16.0	4.00
Total	21	21	21	21	84.00	187.50

Fig. 32

T \ C	1B	3A	3B	3b	4	2A	R	$\frac{(R-\sum R^2)}{N}$
C-I	5.0	4.5	4.5	4.5	4.5	5.0	28.0	49.00
C-II	5.0	2.0	2.0	1.0	2.0	3.0	15.0	36.00
C-III-a	1.0	1.0	1.0	2.0	1.0	1.5	7.5	182.00
C-III-b	2.0	4.5	4.5	4.5	4.5	5.0	25.0	16.00
C-III-c	3.0	4.5	4.5	4.5	4.5	5.0	26.0	25.00
C-III-d	5.0	4.5	4.5	4.5	4.5	1.5	24.5	12.25
Total	21	21	21	21	21	21	126.00	320.50

Fig. 33

T \ C	1E	1F	1b	1A	R	$\frac{(R-\sum R^2)}{N}$
C-I	4.5	4.5	6.0	6.0	21.0	49.00
C-II	2.0	1.5	1.0	1.0	5.5	72.25
C-III-a	4.5	4.5	2.5	2.0	13.5	0.25
C-III-b	4.5	4.5	4.0	4.0	17.0	9.00
C-III-c	4.5	4.5	5.0	3.0	17.0	9.00
C-III-d	1.0	1.5	2.5	5.0	10.0	16.00
Total	21	21	21	21	84.00	155.50

Fig. 34

T \ C	1b	1H	1I	2B	R	$\frac{(R-\sum R^2)}{N}$
Sup	3.0	3.0	3.0	3.0	12.0	4.00
C-I	1.0	1.0	1.0	1.0	4.0	36.00
C-II	3.0	3.0	3.0	3.0	12.0	4.00
C-III	3.0	3.0	3.0	3.0	12.0	4.00
Total	10	10	10	10	40.00	48.00

Fig. 35

T C	1A	1B	1C	1D	1J	1M	2A	3A	3B	3C	3D	R	$\frac{(R-\sum R^2)}{N}$
Sup	3.0	3.0	3.0	3.0	3.0	2.5	3.0	3.0	3.0	3.0	3.0	32.5	25.00
C-I	1.0	1.0	1.0	1.0	1.0	1.0	1.0	1.0	1.0	1.0	1.0	11.0	272.25
C-II	2.0	2.0	2.0	2.0	2.0	2.5	2.0	2.0	2.0	2.0	2.0	22.5	25.00
C-III	4.0	4.0	4.0	4.0	4.0	4.0	4.0	4.0	4.0	4.0	4.0	44.0	272.25
Total	10	10	10	10	10	10	10	10	10	10	10	110.00	594.50

Fig. 36

T C	1E	1F	4	1L	R	$\frac{(R-\sum R^2)}{N}$
Sup	3.5	3.0	3.5	2.0	12.0	4.00
C-I	1.0	1.0	1.0	1.0	4.0	36.00
C-II	2.0	2.0	2.0	3.5	9.5	0.25
C-III	3.5	4.0	3.5	3.5	14.5	20.25
Total	10	10	10	10	40.00	60.50

Fig. 37

R C	1	2	3	4	5	6	7	8	9	10	11	12
Sup	1-a	1-d	1-b	1-j	1-c	1-f	1-m	1-e	1-g	1-h	1-i	1-e
C-I	1-a	1-d	1-b	1-j	1-m	1-f	1-c	1-e	1-l	1-g	1-i	1-h
C-II	1-a	1-d	1-b	1-j	1-c	1-m	1-e	1-f	1-g	1-i	1-e	1-h
C-III-a	1-a	1-d	1-b	1-j	1-m	1-f	1-c	1-e	1-i	1-e	1-g	1-h
C-III-b	1-a	1-b	1-d	1-h	1-c	1-e	1-f	1-g	1-i	1-j	1-l	1-m
C-III-c	1-a	1-b	1-d	1-c	1-f	1-e	1-g	1-h	1-i	1-j	1-l	1-m
C-III-d	1-a	1-d	1-e	1-c	1-f	1-b	1-g	1-h	1-i	1-j	1-l	1-m
C-IV	1-a	1-d	1-b	1-m	1-j	1-c	1-f	1-e	1-i	1-l	1-h	1-g
C-V	1-a	1-l	1-b	1-c	1-d	1-e	1-f	1-g	1-h	1-i	1-j	1-m

Fig. 38

L C	1	2	3	4	5	6	7	8
Sup	3-a	3-b	2-a	3-c	3-d	X	X	X
C-I	3-b	2-a	3-d	3-c	3-a	4	2-b	X
C-II	3-b	2-a	3-d	3-c	3-a	4	X	X
C-III-a	3-b	2-a	3-c	4	3-a	3-d	X	X
C-III-b	2-b	X	X	X	X	X	X	X
C-III-c	X	X	X	X	X	X	X	X
C-III-d	2-a	X	X	X	X	X	X	X
C-IV	3-d	2-a	4	3-c	3-a	3-b	X	X

Fig. 39

R C	1f	1i	R	$\frac{(R-\sum R^2)}{N}$
Sup	5.5	7.0	12.5	6.25
C-I	1.0	3.0	4.0	36.00
C-II	2.0	2.0	4.0	36.00
C-III-a	3.0	1.0	4.0	36.00
C-III-b	8.0	7.0	15.0	25.00
C-III-c	8.0	7.0	15.0	25.00
C-III-d	5.5	7.0	12.5	6.25
C-IV	4.0	4.0	8.0	4.00
C-V	8.0	7.0	15.0	25.00
Total	45	45	90.0	199.50

Fig. 40

T \ C	1d	1c	1h	1e	1a	R	$\frac{(R-\sum R^2)}{N}$
Sup	5.0	6.0	7.0	7.0	5.0	30.0	25.00
C-I	1.0	2.0	2.0	1.0	2.0	8.0	289.00
C-II	2.0	1.0	1.0	3.0	1.0	8.0	289.00
C-III-a	3.0	3.0	7.0	2.0	4.0	19.0	36.00
C-III-b	7.0	8.5	3.5	7.0	7.0	33.0	64.00
C-III-c	8.0	7.0	7.0	7.0	6.0	35.0	100.00
C-III-d	6.0	5.0	7.0	4.0	8.0	30.0	25.00
C-IV	4.0	4.0	3.5	7.0	3.0	21.5	12.25
C-V	9.0	8.5	7.0	7.0	9.0	40.5	240.25
Total	45	45	45	45	45	225.0	1080.50

Fig. 41

T \ C	1m	1g	1b	1i	1e	R	$\frac{(R-\sum R^2)}{N}$
Sup	5.0	6.5	4.0	7.0	7.0	29.5	20.25
C-I	1.0	2.0	1.0	3.0	3.0	10.0	225.00
C-II	2.0	1.0	2.0	1.0	1.0	8.0	289.00
C-III-a	3.0	3.0	3.0	2.0	2.0	12.0	169.00
C-III-b	7.5	6.5	6.0	7.0	7.0	34.0	81.00
C-III-c	7.5	6.5	7.0	7.0	7.0	35.0	100.00
C-III-d	7.5	6.5	9.0	7.0	7.0	37.0	144.00
C-IV	4.0	6.5	5.0	4.0	4.0	23.5	2.25
C-V	7.5	6.5	8.0	7.0	7.0	36.0	121.00
Total	45	45	45	45	45	225.0	1151.50

Fig. 42

T \ C	1f	1c	1e	1h	1i	1g	R	$\frac{(R-\sum R^2)}{N}$
Sup	5.5	6.0	7.0	7.0	7.0	6.5	39.0	81.00
C-I	1.0	2.0	1.0	2.0	3.0	2.0	11.0	361.00
C-II	2.0	1.0	3.0	1.0	1.0	1.0	9.0	441.00
C-III-a	3.0	3.0	2.0	7.0	2.0	3.0	20.0	100.00
C-III-b	8.0	8.5	7.0	3.5	7.0	6.5	40.5	110.25
C-III-c	8.0	7.0	7.0	7.0	7.0	6.5	42.5	156.25
C-III-d	5.5	5.0	4.0	7.0	7.0	6.5	35.0	25.00
C-IV	4.0	4.0	7.0	3.5	4.0	6.5	29.0	1.00
C-V	8.0	8.5	7.0	7.0	7.0	6.5	44.0	196.00
Total	45	45	45	45	45	45	270.0	1471.50

Fig. 43

T \ C	3c	3d	2a	4	R	$\frac{(R-\sum R^2)}{N}$
Sup	5.0	5.0	6.0	7.0	23.0	9.00
C-I	2.0	1.0	1.0	2.0	6.0	196.00
C-II	3.0	2.0	3.0	3.0	11.0	81.00
C-III-a	1.0	4.0	2.0	1.0	8.0	144.00
C-III-b	7.5	7.5	8.0	7.0	30.0	100.00
C-III-c	7.5	7.5	8.0	7.0	30.0	100.00
C-III-d	7.5	7.5	5.0	7.0	27.0	9.00
C-IV	4.0	3.0	4.0	4.0	15.0	25.00
C-V	7.5	7.5	8.0	7.0	30.0	100.00
Total	45	45	45	45	180.0	755.00

Fig. 45a*

T \ C	3c	3d	2a	4	R	$\frac{(R-\sum R^2)}{N}$
Sup	5.0	5.0	5.0	5.0	20.0	64.00
C-I	2.0	1.0	1.0	2.0	6.0	36.00
C-II	3.0	2.0	3.0	3.0	11.0	1.00
C-III	1.0	4.0	2.0	1.0	8.0	16.00
C-IV	4.0	3.0	4.0	4.0	15.0	9.00
Total	15	15	15	15	60.0	126.00

Fig. 45b

T \ C	3a	3b	R	$\frac{(R-\sum R^2)}{N}$
Sup	4.0	5.0	9.0	9.00
C-I	1.0	1.0	2.0	16.00
C-II	2.0	2.0	4.0	4.00
C-III-a	3.0	3.0	6.0	0.00
C-IV	5.0	4.0	9.0	9.00
Total	15	15	30.0	

Fig. 46

T \ C	2a	2b	3a	3b	3c	3d	4	R	$\frac{(R-\sum R^2)}{N}$
Sup	4	4.5	4	4	4	4.5	4	29.0	1.00
C-I	4	4.5	4	4	4	1.0	4	25.5	12.25
C-II	4	4.5	4	4	4	4.5	4	29.0	1.00
C-III	4	4.5	4	4	4	4.5	4	29.0	1.00
C-III-b	4	1.0	4	4	4	4.5	4	25.5	12.25
C-IV	4	4.5	4	4	4	4.5	4	29.0	1.00
C-V	4	4.5	4	4	4	4.5	4	29.0	1.00
Total	28	28	28	28	28	28	28	196.0	29.50

Fig. 47

T \ C	2a	2b	3a	3b	3c	3d	4	R	$\frac{(R-\sum R^2)}{N}$
C-I	2.5	1.0	1.0	3.0	3.0	2.0	1.5	14.0	12.25
C-II	1.0	3.0	2.0	1.0	2.0	1.0	3.0	13.0	20.25
C-III	2.5	3.0	3.0	2.0	1.0	3.0	1.5	16.0	2.25
C-IV	4.0	3.0	4.0	4.0	4.0	4.0	4.0	27.0	110.25
Total	10	10	10	10	10	10	10	70.0	145.00

Fig. 48

* Nota del editor: En la publicación original de este artículo la numeración de las figuras omitía el número 44; se ha optado por respetarla tal cual porque en los cuadros de los coeficientes de concordancia (véase las figuras 20 y 21), así como en el texto, hay una correlación entre las figuras y los datos de la investigación del doctor Brüggemann.

T C	2a	3a	3b	3c	3d	4	2b	R	$\frac{(R-\sum R^2)}{N}$
C-I	3.0	3.5	3.5	3.5	3.0	3.5	3.0	23.0	30.25
C-II	4.0	3.5	3.5	3.5	4.0	3.5	3.0	25.0	56.25
C-III	1.5	1.0	1.0	1.0	2.0	1.0	1.0	8.5	81.00
C-IV	1.5	2.0	2.0	2.0	1.0	2.0	3.0	13.5	16.00
K	10	10	10	10	10	10	10	70.0	183.50

Fig. 49

T C	2a	2b	3a	3b	3c	3d	4	R	$\frac{(R-\sum R^2)}{N}$
C-I	4.5	3	4	4	4	4	4	27.5	42.25
C-II	3.0	3	2	2	2	1	2	15.0	36.00
C-III-a	1.5	3	1	1	1	2	1	10.5	110.25
C-III-d	1.5	3	4	4	4	4	4	24.5	12.25
C-IV	4.5	3	4	4	4	4	4	27.5	42.25
K	15	15	15	15	15	15	15	105.0	243.00

Fig. 50

T C	2a	2b	3a	3b	3c	3d	4	R	$\frac{(R-\sum R^2)}{N}$
Sup	3.0	2.5	3.0	3.0	3.0	3.0	3.0	20.5	42.25
C-I	1.0	1.0	1.0	1.0	1.0	1.0	1.0	7.0	49.00
C-II	2.0	2.5	2.0	2.0	2.0	2.0	2.0	14.5	0.25
Total	6.0	6.0	6.0	6.0	6.0	6.0	6.0	42.0	91.50

Fig. 51

T P	P1	P2	P3	P4	P5	P6	R	$\frac{(R-\sum R^2)}{N}$
2a	4.5	4.0	1.0	1.0	2.0	3.0	15.5	72.25
2b	1.0	4.0	7.0	7.0	7.0	7.0	33.0	81.00
3a	4.5	4.0	5.0	5.0	6.0	6.0	30.5	42.25
3b	4.5	4.0	2.0	6.0	1.0	1.0	18.5	30.25
3c	4.5	4.0	4.0	3.0	3.0	2.0	20.5	12.25
3d	4.5	4.0	3.0	2.0	4.0	4.0	21.5	6.25
4	4.5	4.0	6.0	4.0	5.0	5.0	28.5	20.25
K	28	28	28	28	28	28	168.0	264.50

Fig. 52

T P	P3	P4	P5	P6	R	$\frac{(R-\sum R^2)}{N}$
2a	1.0	1.0	2.0	3.0	7.0	81.00
2b	7.0	7.0	7.0	7.0	28.0	144.00
3a	5.0	5.0	6.0	6.0	22.0	36.00
3b	2.0	6.0	1.0	1.0	10.0	36.00
3c	4.0	3.0	3.0	2.0	12.0	16.00
3d	3.0	2.0	4.0	4.0	13.0	9.00
4	6.0	4.0	5.0	5.0	20.0	16.00
K	28	28	28	28	112.0	302.00

Fig. 53

T P	2a	2b	3a	3b	3c	3d	4	R	$\frac{(R-\sum R^2)}{N}$
P1	1.0	1.0	1.0	2.0	2.0	1.0	3.0	11.0	42.25
P4	2.0	2.5	3.0	4.0	3.0	2.0	2.0	18.5	1.00
P5	4.0	4.0	4.0	3.0	4.0	4.0	4.0	27.0	90.25
P6	3.0	2.5	2.0	1.0	1.0	3.0	1.0	13.5	16.00
K	10	10	10	10	10	10	10	70.0	149.50

Fig. 54

T C	P1	P2	P3	P4	P5	P6	R	$\frac{(R-\sum R^2)}{N}$
Sup	7.5	7.0	7.0	7.0	7.5	3.0	39.0	81.00
C-I	2.0	4.0	2.0	3.0	7.5	1.0	19.5	110.25
C-II	1.0	1.0	1.0	4.0	1.0	2.0	10.0	400.00
C-IIIa	5.0	3.0	3.0	2.0	2.0	6.5	21.5	90.25
C-IIIb	7.5	7.0	7.0	7.0	4.0	6.5	39.0	81.00
C-IIIc	7.5	7.0	7.0	7.0	3.0	6.5	38.0	64.00
C-IIId	7.5	7.0	7.0	7.0	5.0	6.5	40.0	100.00
C-IV	3.0	2.0	4.0	1.0	7.5	6.5	24.0	36.00
C-V	4.0	7.0	7.0	7.0	7.5	6.5	39.0	81.00
K	45	45	45	45	45	45	270.0	1043.50

Fig. 55

T C	P1	P2	P3	P4	P5	P6	R	$\frac{(R-\sum R^2)}{N}$
C-I	2.0	4.0	2.0	3.0	3.5	3.5	18.0	9.00
C-II	1.0	1.0	1.0	4.0	1.0	1.0	9.0	36.00
C-III	4.0	3.0	3.0	2.0	2.0	2.0	16.0	1.00
C-IV	3.0	2.0	4.0	1.0	3.5	3.5	17.0	4.00
K	10	10	10	10	10	10	60.0	50.00

Fig. 56

P \ C	P1	P2	P3	P4	P5	P6	R	$\frac{(R-\sum R^2)}{N}$
C-I	1.0	3.5	3.0	3.5	3.0	1.0	15.0	0.00
C-II	3.0	1.5	1.0	3.5	3.0	2.0	14.0	1.00
C-III	3.0	3.5	2.0	1.0	1.0	3.5	14.0	1.00
C-IV	3.0	1.5	4.0	2.0	3.0	3.5	17.0	4.00
K	10	10	10	10	10	10	60.0	6.00

Fig. 57

P \ C	P1	P2	P3	P4	P5	P6	R	$\frac{(R-\sum R^2)}{N}$
C-I	2.0	2.5	2.0	3.0	3.0	1.0	13.5	2.25
C-II	1.0	1.0	1.0	4.0	1.0	2.0	10.0	25.00
C-III	4.0	2.5	3.0	1.0	3.0	3.5	17.0	4.00
C-IV	3.0	4.0	4.0	2.0	3.0	3.5	19.5	20.25
K	10	10	10	10	10	10	60.0	51.50

Fig. 58

P \ C	P1	P2	P3	P4	P5	P6	R	$\frac{(R-\sum R^2)}{N}$
C-I	3.5	2.5	2.0	3.5	3.5	1.0	16.0	1.00
C-II	1.0	2.5	1.0	3.5	1.0	2.0	11.0	16.00
C-III	2.0	2.5	3.0	1.0	2.0	3.5	14.0	1.00
C-IV	3.5	2.5	4.0	2.0	3.5	3.5	19.0	16.00
K	10	10	10	10	10	10	60.0	34.00

Fig. 59

P \ C	P1	P2	P3	P4	P5	P6	R	$\frac{(R-\sum R^2)}{N}$
C-I	2.5	2.5	2.0	3.5	3.0	1.0	14.5	0.25
C-II	2.5	2.5	3.0	3.5	1.0	2.0	14.5	0.25
C-III	2.5	2.5	1.0	1.5	3.0	3.5	14.5	1.00
C-IV	2.5	2.5	4.0	1.5	3.0	3.5	17.0	4.00
K	10	10	10	10	10	10	60.0	5.50

Fig. 60

P \ C	P1	P2	P3	P4	P5	P6	R	$\frac{(R-\sum R^2)}{N}$
C-I	2.5	2.5	1.0	3.5	2.5	1.0	13.0	4.00
C-II	2.5	2.5	2.0	3.5	2.5	3.0	16.0	1.00
C-III	2.5	2.5	3.0	1.0	2.5	3.0	14.5	0.25
C-IV	2.5	2.5	4.0	2.0	2.5	3.0	16.5	2.25
K	10	10	10	10	10	10	60.0	7.50

Fig. 61

P \ C	P1	P2	P3	P4	P5	P6	R	$\frac{(R-\sum R^2)}{N}$
C-I	2.0	4.0	3.0	3.0	3.5	1.0	16.5	2.25
C-II	1.0	1.0	1.0	4.0	2.0	2.0	11.0	16.00
C-III	3.5	2.0	2.0	1.0	1.0	3.5	13.0	4.00
C-IV	3.5	3.0	4.0	2.0	3.5	3.5	19.5	20.25
K	10	10	10	10	10	10	60.0	42.50

Fig. 62

P \ C	P1	P2	P3	P4	P5	P6	R	$\frac{(R-\sum R^2)}{N}$
C-I	2.5	2.0	3.5	3.5	2.5	2.0	16.0	1.00
C-II	1.0	1.0	1.0	3.5	2.5	1.0	10.0	25.00
C-III	4.0	3.5	2.0	1.0	2.5	3.5	16.5	2.25
C-IV	2.5	3.5	3.5	2.0	2.5	3.5	17.5	6.25
K	10	10	10	10	10	10	60.0	34.50

Fig. 63

P \ C	P1	P2	P3	P4	P5	P6	R	$\frac{(R-\sum R^2)}{N}$
C-I	2.5	2.5	3.0	3.5	3.0	1.0	15.5	0.25
C-II	2.5	2.5	1.0	3.5	1.0	2.0	12.5	6.25
C-III	2.5	2.5	2.0	1.0	3.0	3.0	14.0	1.00
C-IV	2.5	2.5	4.0	2.0	3.0	4.0	18.0	9.00
K	10	10	10	10	10	10	60.0	16.50

Fig. 64

P \ C	P1	P2	P3	P4	P5	P6	R	$\frac{(R-\sum R^2)}{N}$
C-I	2.5	2.5	2.0	3.0	3.0	1.0	14.0	1.00
C-II	2.5	2.5	1.0	3.0	1.0	3.0	13.0	4.00
C-III	2.5	2.5	3.5	1.0	3.0	3.0	15.5	0.25
C-IV	2.5	2.5	3.5	3.0	3.0	3.0	17.5	6.25
K	10	10	10	10	10	10	60.0	5.50

Fig. 65

P \ C	P1	P2	P3	P4	P5	P6	R	$\frac{(R-\sum R^2)}{N}$
C-I	3.0	3.0	2.5	3.0	1.0	1.0	13.5	2.25
C-II	1.0	1.0	2.5	1.0	3.0	3.0	11.5	12.25
C-III	3.0	3.0	2.5	3.0	3.0	3.0	17.5	6.25
C-IV	3.0	3.0	2.5	3.0	3.0	3.0	17.5	6.25
K	10	10	10	10	10	10	60.0	27.00

Fig. 66

P \ C	P1	P2	P3	P4	P5	P6	R	$\frac{(R-\sum R^2)}{N}$
C-I	1.5	3.0	2.0	3.0	3.5	1.0	14.0	1.00
C-II	1.5	1.0	1.0	4.0	2.0	2.0	11.5	12.25
C-III	3.5	3.0	3.0	1.0	1.0	3.5	15.0	0.00
C-IV	3.5	3.0	4.0	2.0	3.5	3.5	19.5	20.25
	10	10	10	10	10	10	60.0	33.50

Fig. 67

P \ C	P1	P2	P3	P4	P5	P6	R	$\frac{(R-\sum R^2)}{N}$
C-I	2.5	2.5	2.5	2.0	3.5	1.0	15.0	0.00
C-II	2.5	2.5	1.0	4.0	2.0	2.0	14.0	1.00
C-III	2.5	2.5	2.5	2.5	1.0	3.5	13.5	2.25
C-IV	2.5	2.5	4.0	1.5	3.5	3.5	17.5	6.25
	10	10	10	10	10	10	60.0	9.50

Fig. 68

P \ C	P1	P2	P3	P4	P5	P6	R	$\frac{(R-\sum R^2)}{N}$
C-I	2.5	2.5	1.0	2.5	2.5	1.0	12.0	9.00
C-II	2.5	2.5	3.0	2.5	2.5	3.0	16.0	1.00
C-III	2.5	2.5	3.0	2.5	2.5	3.0	16.0	1.00
C-IV	2.5	2.5	3.0	2.5	2.5	3.0	16.0	1.00
	10	10	10	10	10	10	60.0	3.50

Fig. 69

P \ C	P1	P2	P3	P4	P5	P6	R	$\frac{(R-\sum R^2)}{N}$
C-I	2.5	3.0	1.0	3.5	3.5	1.0	14.5	0.25
C-II	2.5	3.0	2.0	3.5	2.0	2.0	15.0	0.00
C-III	2.5	3.0	3.0	1.0	1.0	3.5	14.0	1.00
C-IV	2.5	1.0	4.0	2.0	3.5	3.5	16.5	2.25
	10	10	10	10	10	10	60.0	3.50

Fig. 70

P \ C	P1	P2	P3	P4	P5	P6	R	$\frac{(R-\sum R^2)}{N}$
C-I	2.5	2.5	3	3.5	3.5	1.0	16.0	1.00
C-II	2.5	2.5	1	3.5	2.0	2.0	13.5	2.25
C-III	2.5	2.5	2	1.0	1.0	3.5	12.5	6.25
C-IV	2.5	2.5	4	2.0	3.5	3.5	18.0	9.00
	10	10	10	10	10	10	60.0	18.50

Fig. 71

P \ C	P1	P2	P3	P4	P5	P6	R	$\frac{(R-\sum R^2)}{N}$
C-I	2.5	2.5	3	3.5	3.5	1.0	16.0	1.00
C-II	2.5	2.5	2	3.5	2.0	2.0	14.5	0.25
C-III	2.5	2.5	1	1.0	1.0	3.5	11.5	12.25
C-IV	2.5	2.5	4	2.0	3.5	3.5	18.0	19.00
	10	10	10	10	10	10	60.0	22.50

Fig. 72

P \ C	P1	P2	P3	P4	P5	P6	R	$\frac{(R-\sum R^2)}{N}$
C-I	1.0	2.5	2	3.0	3.5	1.0	13.0	4.00
C-II	3.0	2.5	1	4.0	1.0	2.0	13.5	2.25
C-III	3.0	2.5	3	2.0	2.0	3.5	16.0	1.00
C-IV	3.0	2.5	4	1.0	3.5	3.5	17.5	6.25
	10	10	10	10	10	10	60.0	13.50

Fig. 73

P \ C	P1	P2	P3	P4	P5	P6	R	$\frac{(R-\sum R^2)}{N}$
C-I	2.5	2.5	1.5	3.5	3.5	1.0	14.5	0.25
C-II	2.5	2.5	3.0	3.5	2.0	2.0	15.5	0.25
C-III	2.5	2.5	1.5	2.0	1.0	3.5	13.0	4.00
C-IV	2.5	2.5	4.0	1.0	3.5	3.5	17.0	4.00
	10	10	10	10	10	10	60.0	8.50

Fig. 74

T \ C	1a	1b	1c	1d	R	$\frac{(R-\sum R^2)}{N}$
Sup	6.0	4.5	5.0	4.5	20.0	36.00
C-I	2.0	1.0	2.0	4.5	9.5	20.25
C-II	1.0	4.5	1.0	1.0	7.5	42.25
C-III	5.0	4.5	5.0	2.0	16.5	6.25
C-IV	3.0	4.5	3.0	4.5	15.0	1.00
C-V	4.0	2.0	5.0	4.5	15.5	2.25
Total	21	21	21	21	84.0	108.00

Fig. 75

T \ C	1a	1b	1c	1d	1e	1f	R	$\frac{(R-\sum R^2)}{N}$
C-I	2	3	2	2	2	3	14.0	4.0
C-II	1	1	1	1	3	1	8.0	16.00
C-III	3	2	3	3	1	2	14.0	4.00
C-IV	4	4	4	4	4	4	24.0	144.00
Total	10	10	10	10	10	10	60.0	168.00

Fig. 77

T \ C	1a	1b	1c	1d	1e	1f	R	$\frac{(R-\sum R^2)}{N}$
C-I	3.0	3.5	3.0	3.5	3.5	3.5	20.0	25.00
C-II	4.0	3.5	4.0	3.5	3.5	3.5	22.0	49.00
C-III	2.0	1.0	1.0	1.0	1.5	1.0	7.5	56.25
C-IV	1.0	2.0	2.0	2.0	1.5	2.0	10.5	20.25
Total	10	10	10	10	10	10	60.0	150.50

Fig. 78

T \ C	1a	1b	1c	1d	1e	1f	R	$\frac{(R-\sum R^2)}{N}$
Sup	3.0	3.0	3.0	3.0	3.5	3.0	18.5	12.25
C-I	1.0	1.0	1.0	1.0	1.0	1.0	6.0	81.0
C-II	2.0	2.0	2.0	2.0	2.0	2.0	12.0	9.00
C-III	4.0	4.0	4.0	4.0	3.5	4.0	23.5	72.25
Total	10	10	10	10	10	10	60.0	174.50

Fig. 79

T \ C	1a	1b	1c	1d	1e	1f	R	$\frac{(R-\sum R^2)}{N}$
Sup	8.0	6.5	7.0	7.5	6.0	6.0	41.0	121.00
C-I	6.0	6.5	7.0	7.5	6.0	6.0	39.5	81.00
C-II	1.0	6.5	1.0	1.0	2.0	1.5	13.0	289.00
C-III-a	2.0	1.0	2.5	2.5	6.0	6.0	20.0	100.00
C-III-b	4.0	2.0	7.0	4.0	6.0	6.0	29.0	1.00
C-III-c	3.0	3.0	4.0	5.0	6.0	6.0	27.0	9.00
C-III-d	5.0	6.5	2.5	2.5	1.0	1.5	19.0	121.00
C-IV	8.0	6.5	7.0	7.5	6.0	6.0	41.0	121.00
C-V	8.0	6.5	7.0	7.5	6.0	6.0	41.0	121.00
Total	45	45	45	45	45	45	270.0	964.00

Fig. 80

T \ P	P1	P2	P3	P4	P5	P6	R	$\frac{(R-\sum R^2)}{N}$
1a	1.0	1.0	1.0	1.0	1.0	1.0	6.0	1089.00
1b	6.0	5.0	3.0	3.0	4.0	2.0	23.0	256.00
1c	3.0	3.0	7.0	9.0	3.0	8.0	33.0	36.00
1d	5.0	10.0	2.0	2.0	2.0	3.0	24.0	225.00
1e	10.5	10.0	10.0	10.0	6.5	7.0	54.0	225.00
1f	10.5	10.0	5.5	6.5	8.0	5.0	45.0	42.25
1g	10.5	10.0	11.5	11.5	10.0	10.5	64.0	625.00
1h	8.0	7.0	11.5	11.5	9.0	12.0	59.0	400.00
1i	10.5	10.0	8.5	6.5	11.5	10.5	57.5	342.25
1j	2.0	2.0	5.5	5.0	5.0	4.0	23.5	240.25
1l	4.0	4.0	8.5	8.0	11.5	9.0	45.0	36.00
1m	7.0	6.0	4.0	4.0	6.5	6.0	33.5	30.25
	78	78	78	78	78	78	468.0	3321.00

Fig. 81

T \ P	1a	1b	1c	1d	1e	1f	1g	1h	1i	1j	1l	1m	R	$\frac{(R-\sum R^2)}{N}$
P-1	5.0	6.0	4.0	5.0	5.5	5.5	5.5	4.0	5.0	6.0	4.0	5.5	61.0	361.00
P-2	3.0	5.0	2.0	6.0	5.5	5.5	5.5	4.0	5.0	5.0	2.0	5.5	54.0	144.00
P-3	2.0	2.0	3.0	2.0	2.5	2.0	1.0	6.0	1.0	2.0	1.0	1.0	25.5	272.25
P-4	4.0	3.0	6.0	3.0	4.0	3.0	2.0	1.0	2.0	3.0	3.0	2.0	36.0	36.00
P-5	6.0	4.0	1.0	4.0	2.5	4.0	4.0	2.0	5.0	4.0	6.0	4.0	46.5	20.25
P-6	1.0	1.0	5.0	1.0	1.0	1.0	3.0	4.0	3.0	1.0	5.0	3.0	29.0	169.00
Total	21	21	21	21	21	21	21	21	21	21	21	21	252.0	1002.50

Fig. 82

Bibliografía

Franco, J. L.

- 1957 *Motivos decorativos de la cerámica Azteca*. México, Museo Nacional de Antropología (serie Científica, 5).

Grove, D. C.

- 1964 The Ixtapaluca Viejo Ballcouet excavation. (Preliminary report) (mimeo). Reporte para obtener el grado en antropología. University of California, Los Ángeles.

Kendall, M.G.

- 1962 *Bank Correlation Methods*. Londres, Charles Griffin & Comp.

Montemayor, Felipe

- 1973 *Fórmulas estadísticas para investigadores*. México, INAH (Científica, 5).

Noguera, Eduardo

- 1954 *La cerámica de Cholula*. México, Editorial Guaranía.
1965 *La cerámica arqueológica de Mesoamérica*. México, UNAM, Instituto de Historia (Primera serie, 86).

Sabloff, Jeremy, y Smith, Robert E.

- 1969 The Importance of Both Analytic and Taxonomic Classification in the Type Variety System. *American Antiquity*, 34: 278-285.

Tolstoy, Paul

- 1958 Surface Survey of the Northern Valley of Mexico: The Classic and Postclassic Periods. *Transactions of the American Philosophical Society*, 48 (5): 1-101.
1973 The Archaeological Chronology of Western Mesoamerica before 900 A.D. (mimeo). Nueva York, Dept. of Anthropology, University of New York.